

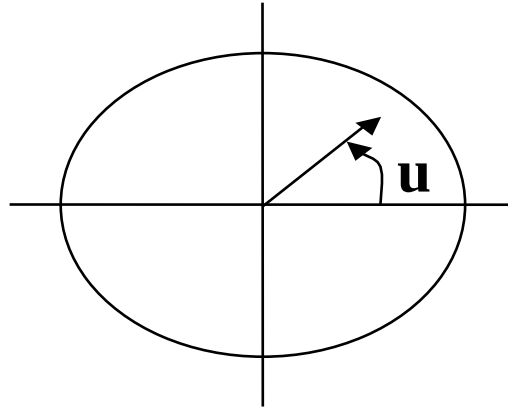
# Courbes & Surfaces Paramétriques

**Paramétrique / Implicite**  
**Courbes Paramétriques (Splines)**  
**Surfaces Paramétriques**  
**Subdivision**

*Christian Gentil - Marc Neveu – LIB – Université de Bourgogne*

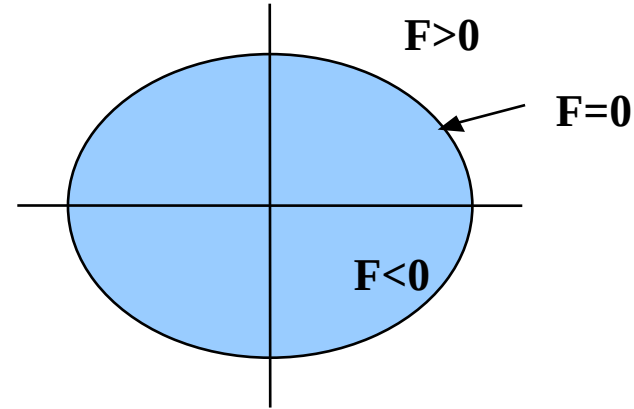
# 2 façons de définir un cercle

**Paramétrique**



$$\begin{cases} x(u) = r \cdot \cos(u) \\ y(u) = r \cdot \sin(u) \end{cases}$$

**Implicite**



$$F(x, y) = x^2 + y^2 - r^2$$

# Représentations d'une courbe (2D)

Explicite :  $y = y(x)$

$$y=mx+b \quad y=x^2$$

doit être une fonction ( $x \rightarrow y$ ) : limitation importante

Paramétrique :  $(x,y)=x(u),y(u)$

$$(x,y) = (\cos u, \sin u)$$

+ facile à spécifier

- variable additionnelle cachée  $u$  : le paramètre

Implicite :  $f(x,y) = 0$

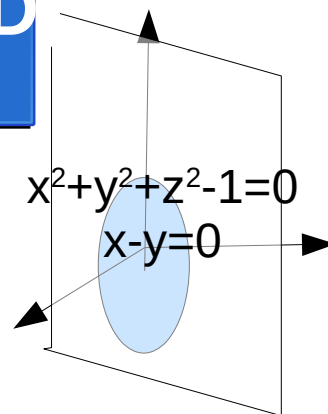
$$x^2+y^2-r^2=0$$

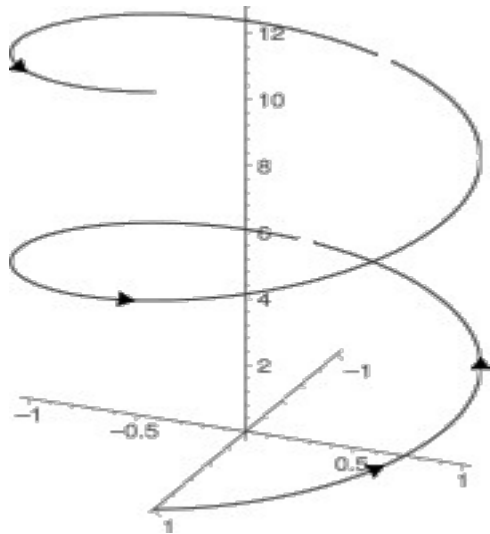
+  $y$  peut être une fonction multivaluée de  $x$

- difficile à spécifier, modifier, contrôler

# Représentations des courbes et surfaces (3D)

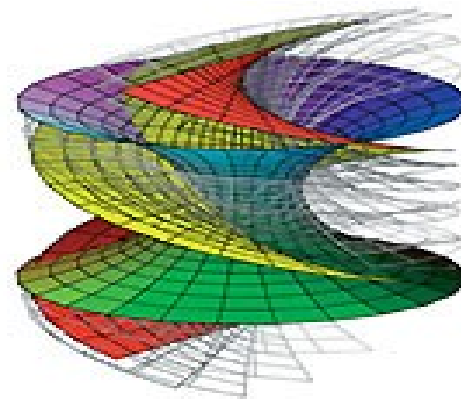
- Représentation Implicite
  - Courbes :  $f(x,y,z) = 0$  et  $g(x,y,z) = 0$
  - Surfaces :  $f(x,y,z) = 0$
- Représentation Paramétrique
  - Courbes :  $x = f(t)$ ,  $y = g(t)$ ,  $z = h(t)$
  - Surfaces :  $x = f(u,v)$ ,  $y = g(u,v)$ ,  $z = h(u,v)$
  - Courbe Cubique :
    - $x = a_x t^3 + b_x t^2 + c_x t + d_x$
    - $y = a_y t^3 + b_y t^2 + c_y t + d_y$
    - $z = a_z t^3 + b_z t^2 + c_z t + d_z$





$$\begin{cases} x(t) = x_0 + R \cdot \cos(2\pi \cdot t) \\ y(t) = y_0 + R \cdot \sin(2\pi \cdot t) \\ z(t) = z_0 + p \cdot t \end{cases}$$

Hélice passant par  $(x_0, y_0, z_0)$ , rayon  $R$ , pas  $p$



*Helicoïde :*

$u \in \mathbb{R}, v \in \mathbb{R}$

$$\begin{cases} x = v \cdot \cos(u) \\ y = v \cdot \sin(u) \\ z = u \end{cases}$$

# Représentation des Surfaces

## Surface Paramétrique – $(x(u,v), y(u,v), z(u,v))$

Ex : plan, sphère, cylindre, tore, surface bicubique, surface de balayage

Les fonctions paramétriques permettent de se déplacer sur la surface en faisant varier  $u$  et  $v$  (ex en boucles imbriquées)

Pratique pour maillages polygonaux, etc

Terrible pour les intersections (rayon/surface), intériorité, appartenance, etc

## Surface Implicite $F(x,y,z)=0$

Ex : plan, sphère, cylindre, tore, blobs

Terrible pour la visualisation

Pratique pour les intersections, le morphing

## Surface de Subdivision

Définie par un maillage de contrôle et une subdivision récursive

Pratique pour la conception interactive

# Visualisation des Courbes Paramétriques

- Evaluation des fonctions  $x(t)$ ,  $y(t)$ ,  $z(t)$
- Par échantillonnage de l'espace des paramètres
- Paramétrisation d'une courbe: nombre de solutions infini
  - Paramètre = vitesse de parcours de la courbe
    - avec vitesse (non-) constante,
    - (dis-)continue,
    - par longueur d'arc,...

# Courbes Paramétriques : résumé

- Pourquoi des polynomiales par morceaux, pourquoi des cubiques ?
- Principales courbes :
  - Splines de Hermite , splines de Bezier , splines de Catmull-Rom , splines naturelles cubiques , B-Splines, NURBS

Et extension aux surfaces



# Construction de Courbes

Représenter  $\leftrightarrow$  construire

Buts pour construire des courbes :

Courbe lisse, “élastique”

**Utilise des points de contrôle  $\Rightarrow$  et coordonnées barycentriques**

Comme les architectes de marine :

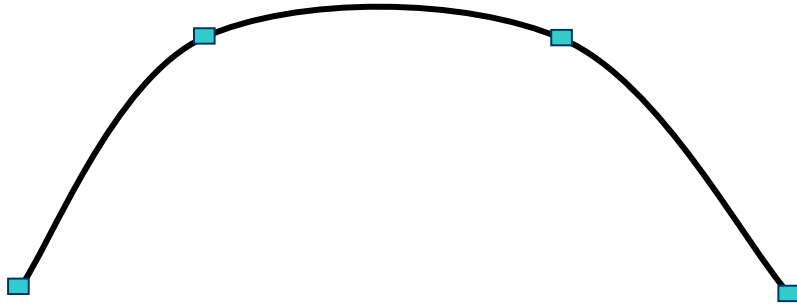
Poids ou joints pour maintenir une latte flexible (spline)

la latte passe par les joints et a une forme “lisse”

Mathématiquement ?

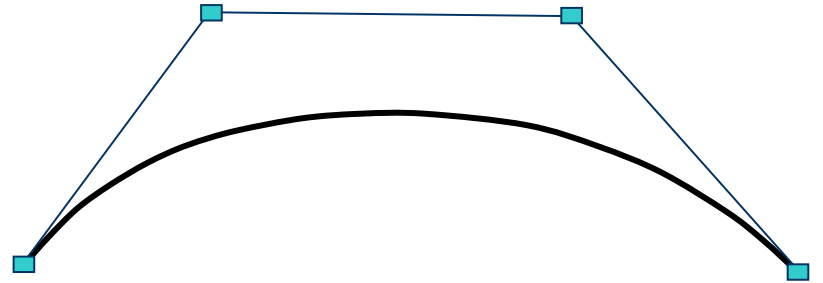
# 2 types de courbes

## Interpolation



la courbe passe par  
les points de contrôle

## Approximation



la courbe approche  
les points de contrôle

# Avant de démarrer...

Quelques rappels mathématiques....

Soit  $E^3$  l'espace Euclidien  
Courbe paramétrique :

ex :

$$Q(t) = [x(t), y(t), z(t)] = Q_0 + Q_1 t + Q_2 t^2 + \dots + Q_n t^n$$

$$Q(t) = Q_0 + Q_1 t$$

combinaison barycentrique BC de  $E^3$  : point de  $E^3$  /

$$\left\{ \begin{array}{l} BC = \sum_{i=0}^n \alpha_i P_i \\ \sum_{i=0}^n \alpha_i = 1 \end{array} \right.$$

combinaison convexe BC /

$$\alpha_i \geq 0 \quad \forall i$$

# Coordonnées Barycentriques

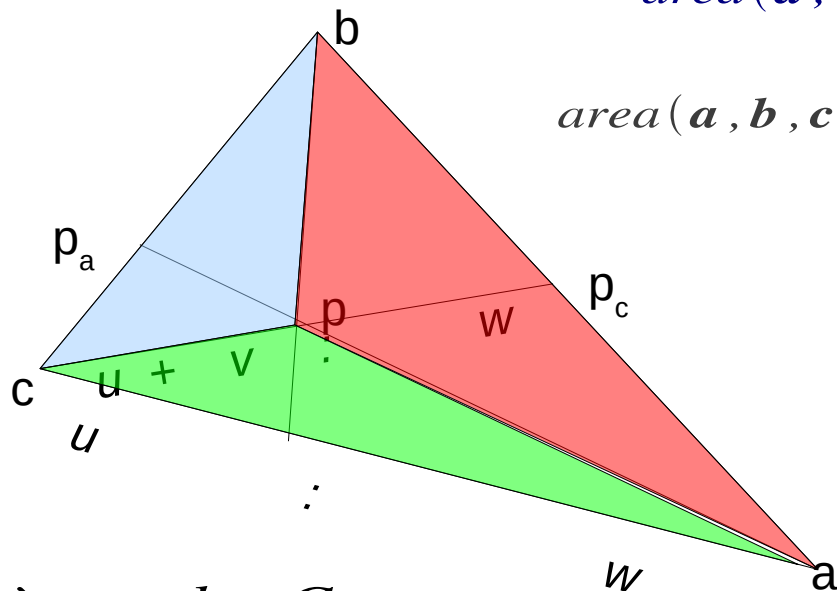
$$\mathbf{p} = u \mathbf{a} + v \mathbf{b} + w \mathbf{c}$$

$$u + v + w = 1$$

$$u = \frac{\text{area}(\mathbf{p}, \mathbf{b}, \mathbf{c})}{\text{area}(\mathbf{a}, \mathbf{b}, \mathbf{c})}$$

$$v = \frac{\text{area}(\mathbf{a}, \mathbf{p}, \mathbf{c})}{\text{area}(\mathbf{a}, \mathbf{b}, \mathbf{c})}$$

$$w = \frac{\text{area}(\mathbf{a}, \mathbf{b}, \mathbf{p})}{\text{area}(\mathbf{a}, \mathbf{b}, \mathbf{c})}$$



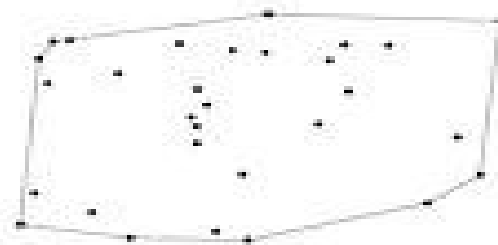
$$\text{area}(\mathbf{a}, \mathbf{b}, \mathbf{c}) = \frac{1}{2} \begin{vmatrix} a_x & b_x & c_x \\ a_y & b_y & c_y \\ 1 & 1 & 1 \end{vmatrix}$$

théorème de Ceva :

$$\text{ratio}(\mathbf{a}, \mathbf{p}_c, \mathbf{b}) \cdot \text{ratio}(\mathbf{b}, \mathbf{p}_a, \mathbf{c}) \cdot \text{ratio}(\mathbf{c}, \mathbf{p}_b, \mathbf{a}) = 1$$

# Enveloppe convexe

L'ensemble de toutes les combinaisons convexes d'un ensemble  $\Gamma$  de points de  $E^3$  est l'enveloppe convexe de  $\Gamma$



un cas particulier d'une  
combinaison convexe :  
l'interpolation linéaire de 2 points  
distincts  $a$  et  $b$  :  
 $Q(t) = (1-t) a + t b$

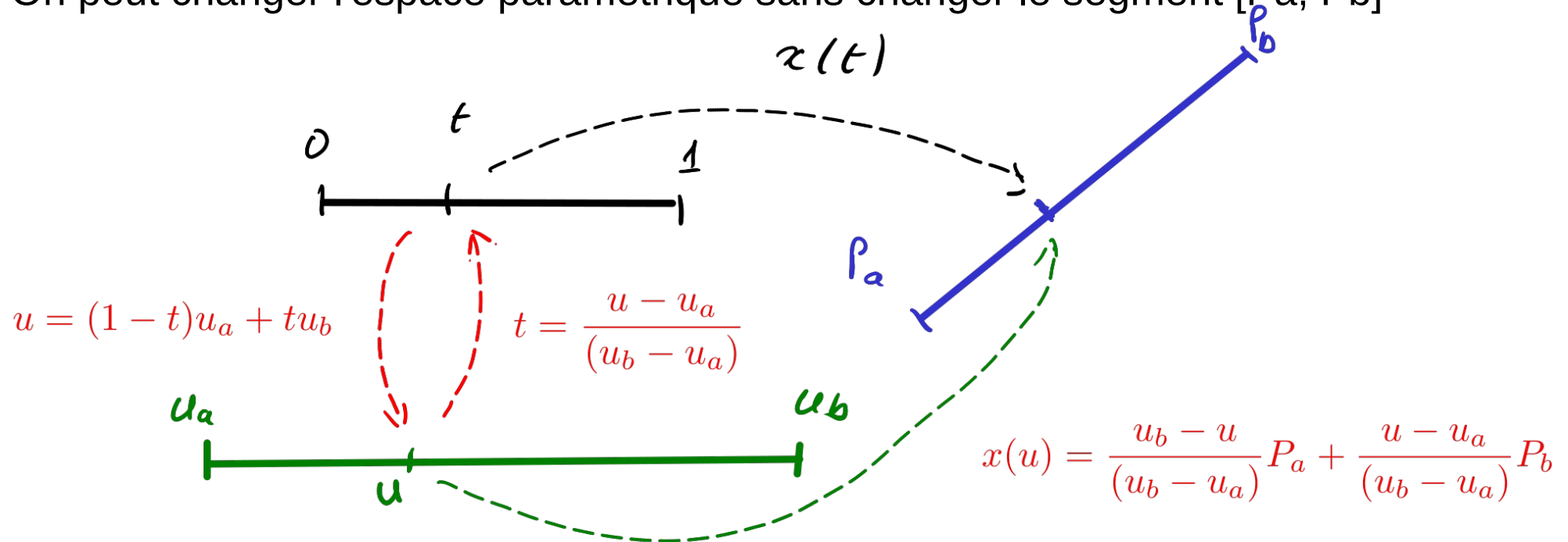


# Changement de paramètre

Le segment  $[P_a, P_b]$  est défini par l'application affine

$$x(t) = (1 - t)P_a + tP_b \quad t \in [0, 1]$$

On peut changer l'espace paramétrique sans changer le segment  $[P_a, P_b]$



# Interpolation Polynomiale

soient  $P_0, \dots, P_n$  et  $t_0, \dots, t_n$  les valeurs paramétriques correspondantes

- **l'Interpolation** = trouver une courbe  $P(t)$  passant par tous les points

- Calculer un polynome satisfaisant les contraintes d'interpolation :  $P(t_i) = P_i$  ( $i=0..n$ )

- **Théorème :**

- il existe un polynome unique  $P$  de degré  $\leq n$  tel que  $P(t_i) = P_i$  ( $i=0..n$ ) avec  $P_i$  et  $t_i$  fixés



# Interpolation Polynomiale

un polynome de degré  $n$  interpole une courbe en  $(n+1)$  points

Ex : courbe 2<sup>e</sup> degré interpole 3 points

$x(t) = at^2 + bt + c$  en  $(t_1, x_1)$ ,  $(t_2, x_2)$ ,  $(t_3, x_3)$

3 équations linéaires avec 3 inconnues pour trouver  $a, b, c$

## Interpolation de Lagrange

courbe « sinueuse », globale, instable

=> polynomes de bas degré et courbe lisse

simuler un fil élastique (thin plate)

# Interpolation de Lagrange

**Données :**

$n + 1$  points (avec  $x_i$  distincts 2 à 2).  $(x_0, y_0), (x_1, y_1) \dots (x_n, y_n)$

**Polynomes de Lagrange**

$$L_j(x) = \prod_{i=0, i \neq j}^n \frac{x - x_i}{x_j - x_i} = \frac{x - x_0}{x_j - x_0} \dots \frac{x - x_{j-1}}{x_j - x_{j-1}} \frac{x - x_{j+1}}{x_j - x_{j+1}} \dots \frac{x - x_n}{x_j - x_n}$$

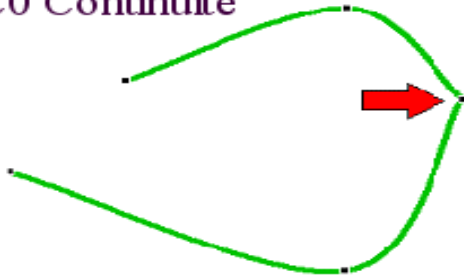
**Deux propriétés :**  $\forall j \quad \text{degre}(L_j) = n$   
 $L_j(x_i) = \delta_{j,i} \quad \text{ie} \quad L_j(x_j) = 1 \wedge L_j(x_i) = 0 \quad \text{if} \quad j \neq i$

$L(x) = \sum_{j=0}^n y_j L_j(x)$  Est l'unique polynome de degré  $n$  vérifiant  $L(x_i) = y_i \quad \forall i$

# Polynomes par morceaux

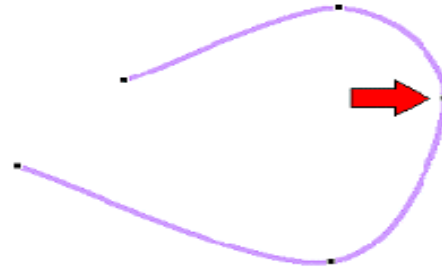
Spline : plusieurs morceaux combinés  
combinaison « correcte »

C0 Continuité



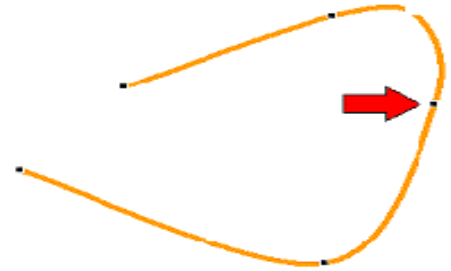
Position  
continuité

C1 Continuité



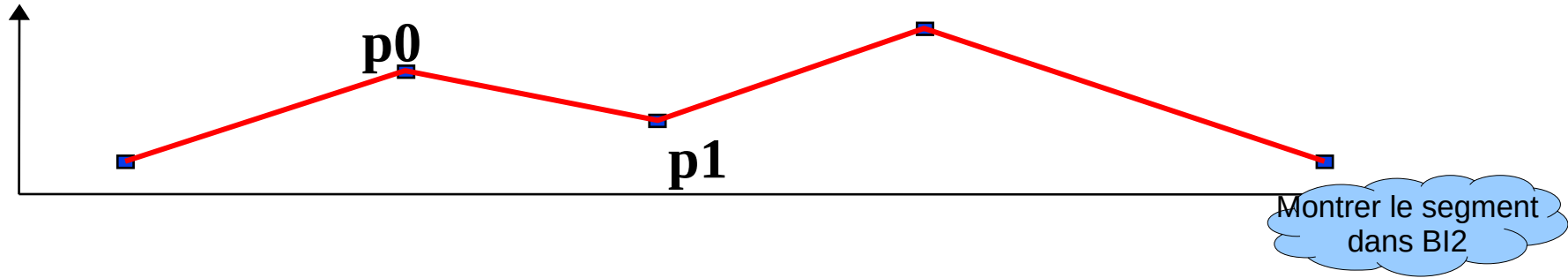
Position et  
alignement  
des tangentes

C2 Continuité



Position,  
tangence  
et continuité  
de la courbure

# Polynômes linéaires par morceaux



$$p(t) = (1-t)p_0 + tp_1$$

2 fonctions de base

$$p(t) = \begin{pmatrix} t & 1-t \end{pmatrix} \begin{pmatrix} -1 \\ 1 \end{pmatrix} \begin{pmatrix} 1 \\ 0 \end{pmatrix} \begin{pmatrix} p_0 \\ p_1 \end{pmatrix} = \sum_{i=0}^1 B_i^1(t) p_i$$

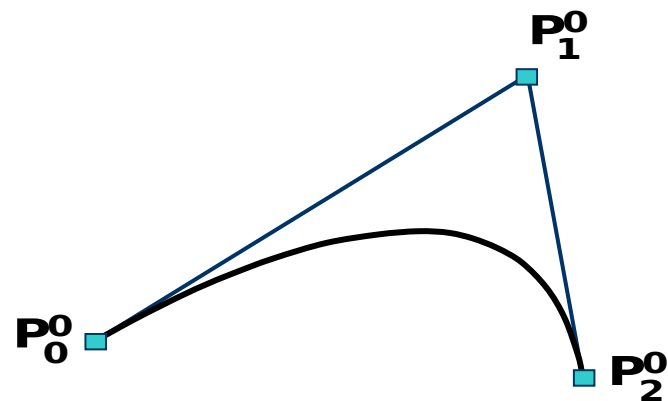
# Courbe de Bézier

Lien entre  
polynomes de **Bernstein**,  
développement du binome,  
et loi binomiale

$$P(t) = \begin{pmatrix} t^2 & t & 1 \end{pmatrix} \begin{pmatrix} \boxed{1} & \boxed{-2} & \boxed{1} \\ \boxed{-2} & \boxed{2} & \boxed{0} \\ \boxed{1} & \boxed{0} & \boxed{0} \end{pmatrix} \begin{pmatrix} P_0^0 \\ P_1^0 \\ P_2^0 \end{pmatrix}$$

$$P(t) = \begin{pmatrix} \boxed{t^2 - 2t + 1} \\ \boxed{-2t + 2t} \\ \boxed{t^2} \end{pmatrix} \begin{pmatrix} P_0^0 \\ P_1^0 \\ P_2^0 \end{pmatrix} = \begin{pmatrix} \boxed{B_0^2(t)} \\ \boxed{B_1^2(t)} \\ \boxed{B_2^2(t)} \end{pmatrix} \begin{pmatrix} P_0^0 \\ P_1^0 \\ P_2^0 \end{pmatrix}$$

$$P(t) = \sum_{i=0}^n \boxed{B_i^n(t)} P_i^0$$



Polynomes de Bernstein

Degré n=2

# Courbe de Bézier

Lien entre  
polynômes de **Bernstein**,  
développement du binôme  
et loi binomiale

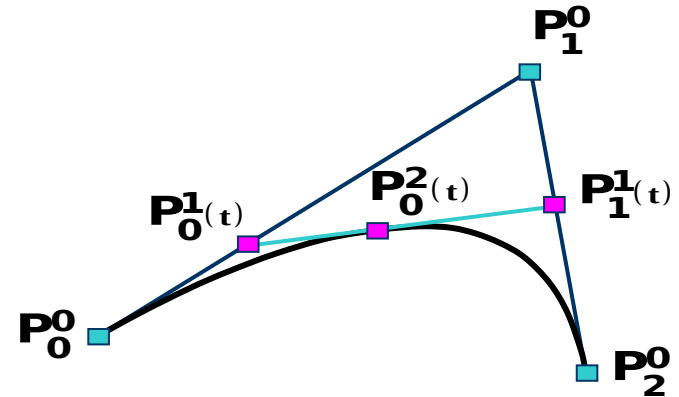
$$P_0^1(t) = (1-t)P_0^0 + tP_1^0$$

$$P_1^1(t) = (1-t)P_1^0 + tP_2^0$$

$$P_0^2(t) = (1-t)P_0^1 + tP_1^1$$

$$P_0^2(t) = (1-t)((1-t)P_0^0 + tP_1^0) + t((1-t)P_1^0 + tP_2^0)$$

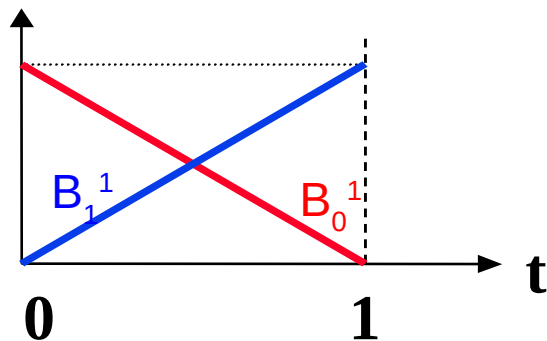
$$\begin{aligned} P_0^2(t) &= (1-t)^2 P_0^0 + 2t(1-t) P_1^0 + t^2 P_2^0 \\ &= B_0^2 P_0^0 + B_1^2 P_1^0 + B_2^2 P_2^0 = \sum_{i=0}^n B_i^n P_i^0 \end{aligned}$$



degré  $n = 2$

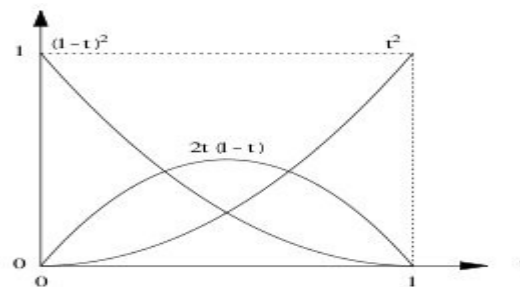
# Fonctions de mélange de Bézier

Degré 1



Démo avec  
courbebaseparam

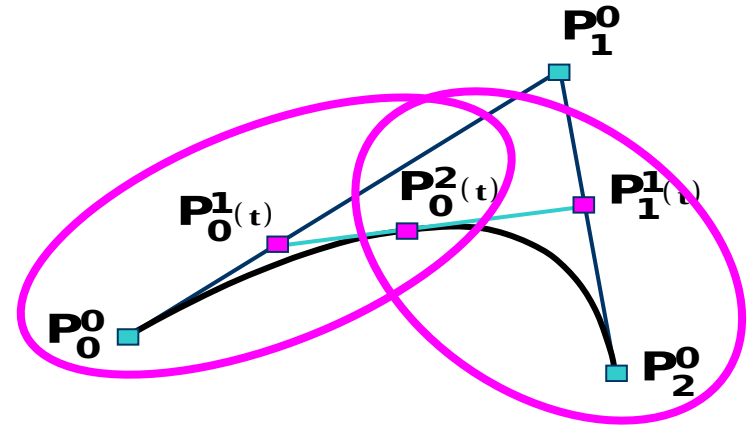
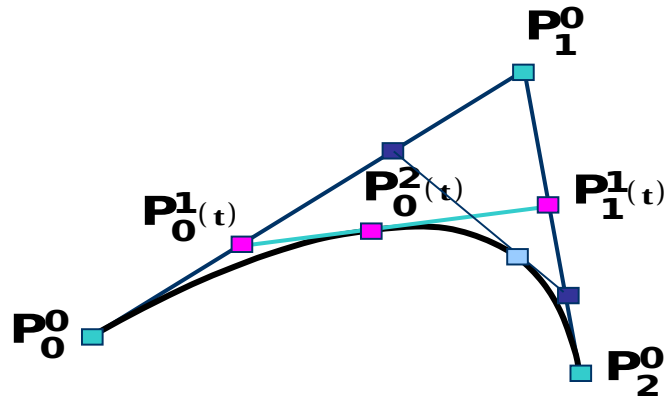
Degré 2



Montrer la courbe  
dans BI2 +  
Repère entre vecteurs canoniques  
Et point de contrôle

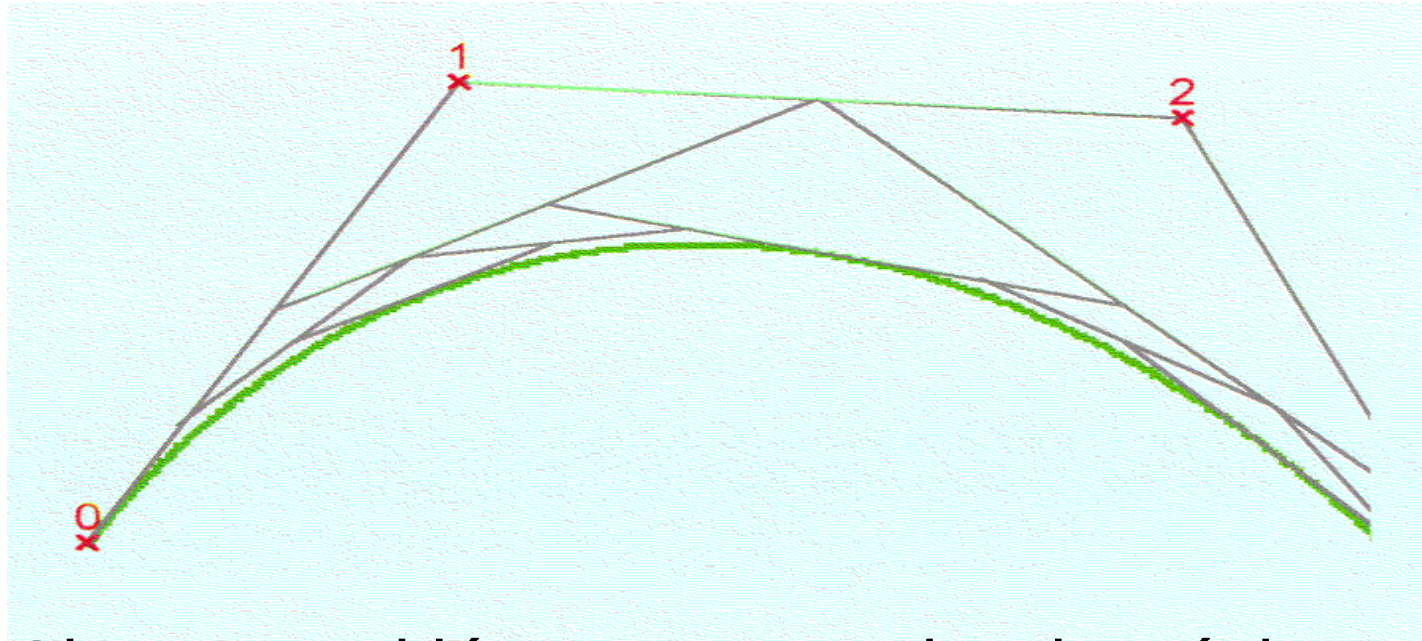
Propriétés :  
Enveloppe convexe,  
Symétrie,  
Valeur aux bords

# Courbe de Bézier



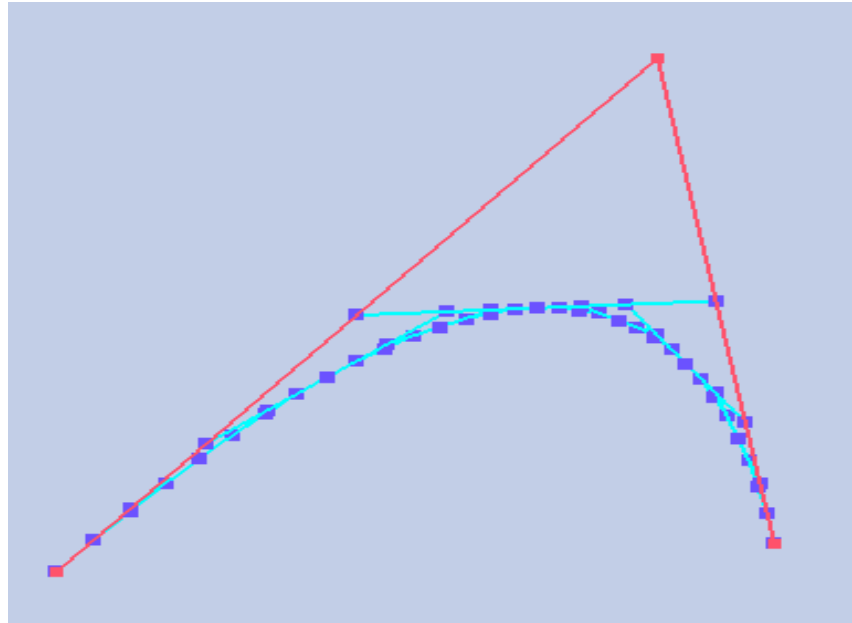


# Subdivision des courbes de Bézier



Chaque moitié est une courbe de Bézier  
Algorithme général de de Casteljau

# Courbe de Bézier

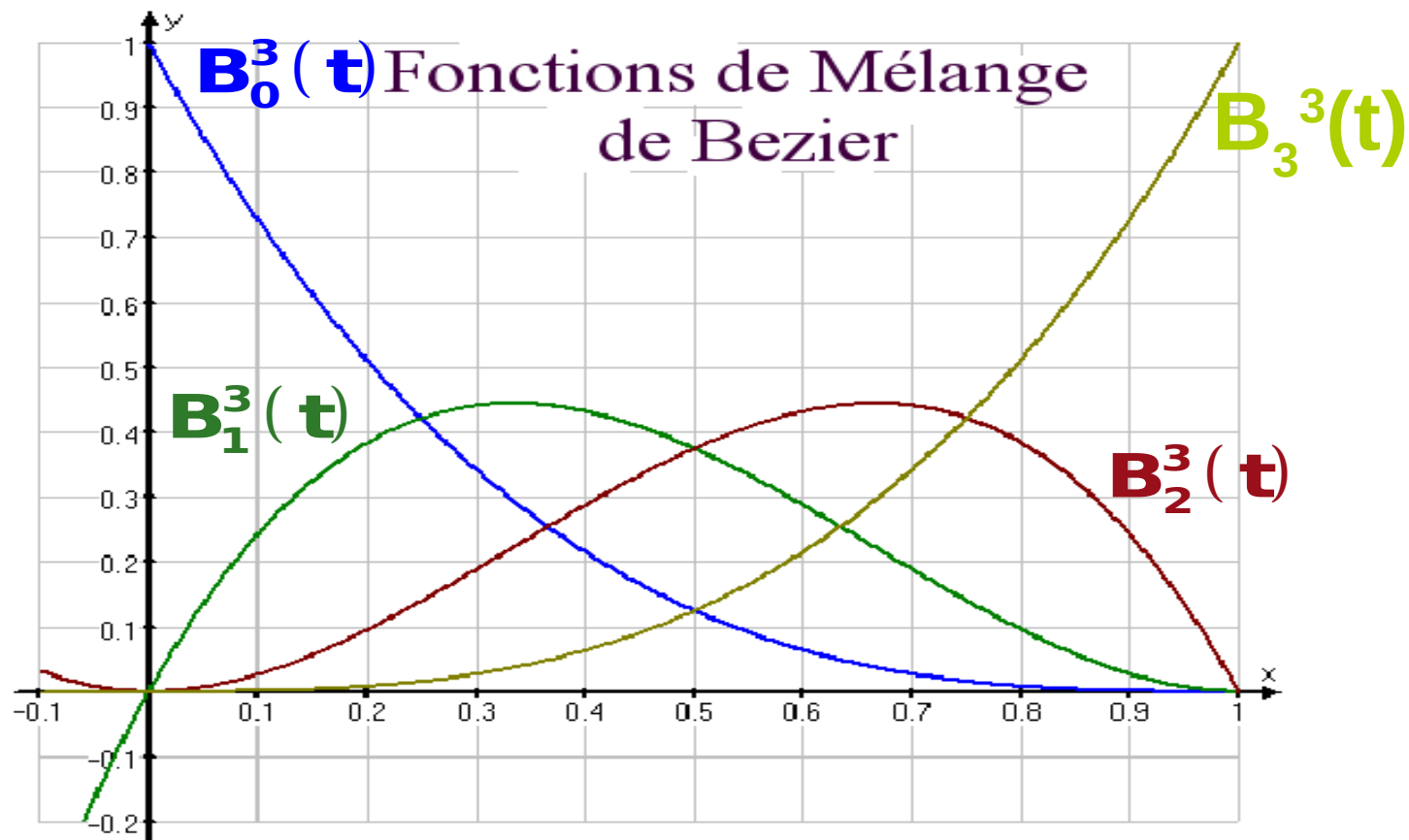


# Courbe de Bézier Cubique

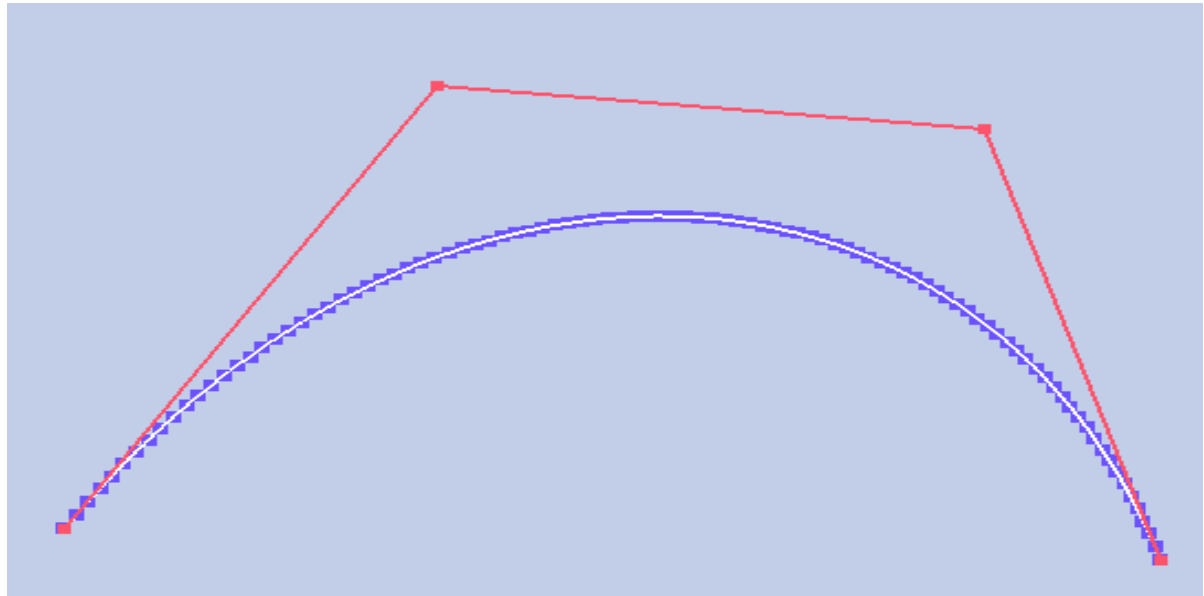
$$P(t) = \begin{pmatrix} t^3 & t^2 & t & 1 \end{pmatrix} \begin{pmatrix} -1 & 3 & -3 & 1 \\ 3 & -6 & 3 & 0 \\ -3 & 3 & 0 & 0 \\ 1 & 0 & 0 & 0 \end{pmatrix} \begin{pmatrix} P_0^0 \\ P_1^0 \\ P_2^0 \\ P_3^0 \end{pmatrix}$$

$$P(t) = \begin{pmatrix} (1-t)^3 \\ 3t(1-t)^2 \\ 3t^2(1-t) \\ t^3 \end{pmatrix}^T \begin{pmatrix} P_0^0 \\ P_1^0 \\ P_2^0 \\ P_3^0 \end{pmatrix} = \begin{pmatrix} B_0^3(t) \\ B_1^3(t) \\ B_2^3(t) \\ B_3^3(t) \end{pmatrix}^T \begin{pmatrix} P_0^0 \\ P_1^0 \\ P_2^0 \\ P_3^0 \end{pmatrix}$$

# Fonctions de mélange de Bézier



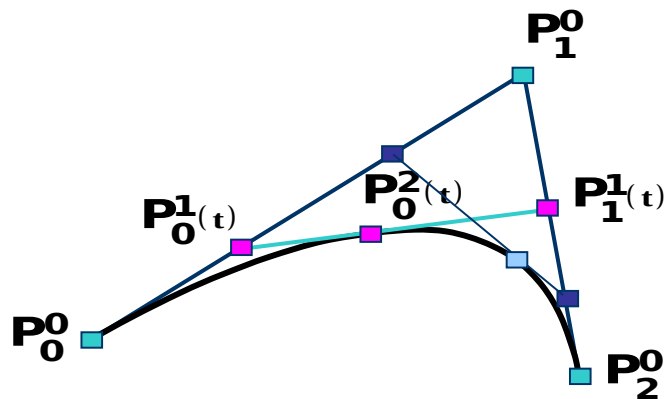
# Courbe de Bézier



# De Casteljau

$$\left\{ \begin{array}{l} P_i^r(t) = (1-t)P_i^{r-1}(t) + tP_{i+1}^{r-1}(t) \\ r = 1, \dots, n \quad i = 0, \dots, n-r \quad t \in [0,1] \\ P_i^0(t) = P_i \end{array} \right.$$

Faire le De Casteljau récursif  
Montrer que toutes courbes polynomiales  
Peut être décomposée  
en 2 courbes du meme type.  
=> on peut appliquer De Casteljau



# Polynomes de Bernstein

- Courbe de Bezier :

$$C(t) = \sum_{i=0}^n B_i^n(t) P_i$$

où les  $B_i^n(t)$  sont les polynomes de Bernstein de degré  $n$   
et les  $P_i$  les points de contrôle

- Polynomes de Bernstein

$$B_i^n(t) = \binom{n}{i} (1-t)^{n-i} t^i$$

$$\text{avec } \binom{n}{i} = C_n^i = \frac{n!}{i!(n-i)!}$$

# Propriétés des Polynômes de Berns

$$\left\{ \begin{array}{l} B_i^n(t) = (1-t)B_{i-1}^{n-1}(t) + tB_{i-1}^{n-1}(t) \\ B_0^n(t) = 1 \wedge B_j^n(t) = 0 \text{ if } j \notin \{0, \dots, n\} \end{array} \right.$$

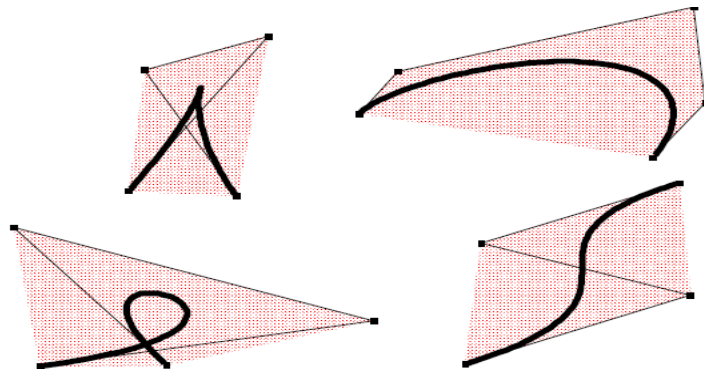
## Extrémités et enveloppe Convexe

$$\left\{ \begin{array}{l} \sum_{i=0}^n B_i^n(t) = 1 \wedge B_i^n(t) \geq 0 \quad \forall t \in [0,1] \\ B_n(0) = P_0 \wedge B_n(1) = P_n \end{array} \right.$$

## Invariance Affine

soit  $f(\mathbf{x}) = A \cdot \mathbf{x} + \mathbf{b}$  une transformation affine

$$f(B_n(t)) = \sum_{i=0}^n B_i^n(t) f(P_i)$$





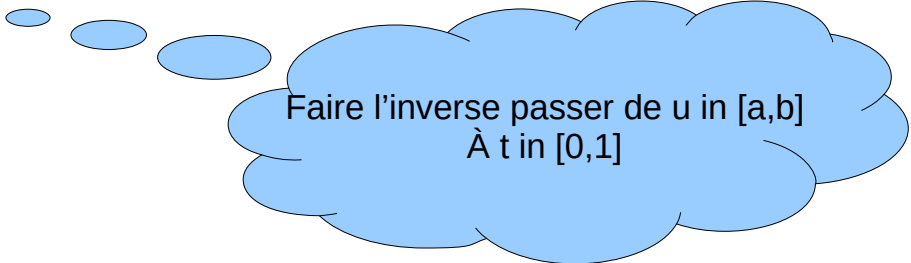
# Propriétés des Polynômes de Berns

## Symétrie

$$B_i^n(t) = B_{n-i}^n(1-t) \rightarrow \sum_{i=0}^n B_i^n(t) P_i = \sum_{i=n}^0 B_{n-i}^n(1-t) P_i \quad \forall t \in [0,1]$$

## Invariance Affine des paramètres

$$\text{soit } t = \frac{u-a}{b-a} \quad t \in [0,1] \wedge u \in [a,b] \quad B_n(t) \text{ est la même courbe que } B_n(u)$$



Faire l'inverse passer de  $u$  in  $[a,b]$   
À  $t$  in  $[0,1]$

# Propriétés des Polynômes de Berns

## Dérivées

première dérivée

$$\frac{dB_n(t)}{dt} = n \sum_{i=0}^{n-1} \Delta P_i B_i^{n-1}(t) \quad \text{with} \quad \Delta P_i = P_{i+1} - P_i$$

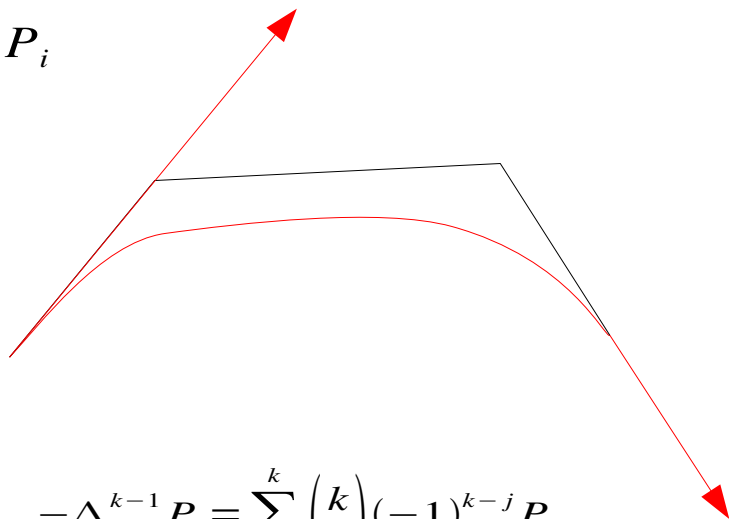
$$\leftarrow \frac{dB_i^n(t)}{dt} = n (B_{i-1}^n(t) - B_i^n(t))$$

Vecteurs Tangents

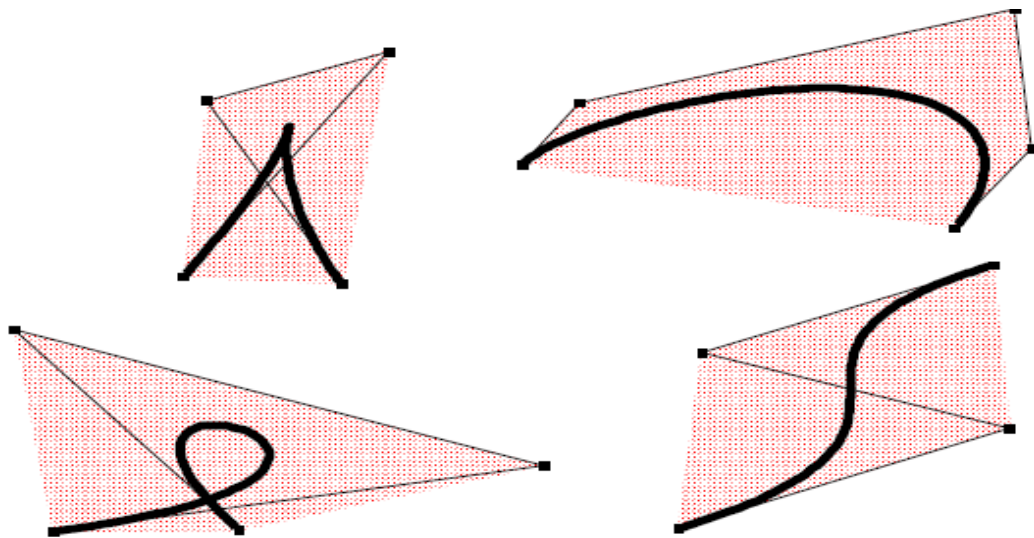
$$\frac{dB_n(0)}{dt} = n \Delta P_0 \wedge \frac{dB_n(1)}{dt} = n \Delta P_{n-1}$$

## Forme Générale

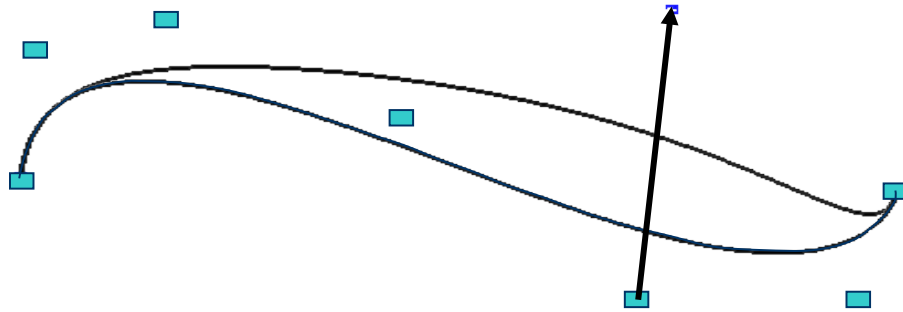
$$\frac{d^k B_n(t)}{d^k t} = \frac{n!}{(n-k)!} \sum_{i=0}^{n-k} \Delta^k P_i B_i^{n-k}(t) \quad \text{with} \quad \Delta^k P_i = \Delta^{k-1} P_{i+1} - \Delta^{k-1} P_i = \sum_{j=0}^k \binom{k}{j} (-1)^{k-j} P_{i+j}$$



# Courbe de Bézier

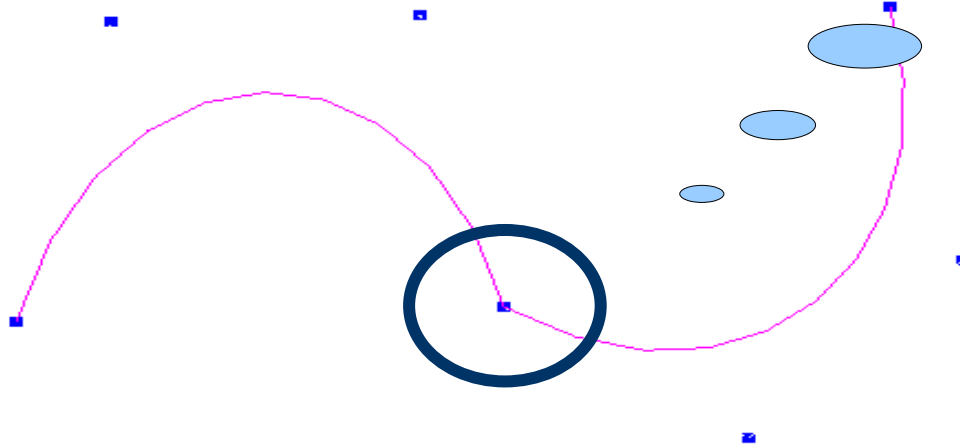


# Courbe de Bézier



# Courbe de Bézier par morceaux

Expliquer raccord C1  
Et introduction B-spline uniforme





Hermite  
CatmullRom

# Hermite

Pourquoi celles-là ? Elles vérifient :

$$p(0) = p_0$$

$$p(1) = p_1$$

$$\left. \frac{dp}{dt} \right|_{t=0} = \nabla p_0$$

$$\left. \frac{dp}{dt} \right|_{t=1} = \nabla p_1$$



Spécification de Hermite

Interpole les extrémités et les tangentes aux extrémités

# Hermite

Courbe polynomiale : forme générale

$$p(t) = at^3 + bt^2 + ct + d = T \cdot A$$

avec  $T = \begin{bmatrix} t^3 & t^2 & t & 1 \end{bmatrix}$  et  $A = \begin{bmatrix} a & b & c & d \end{bmatrix}^T$

$$p(t) = \begin{bmatrix} t^3 & t^2 & t & 1 \end{bmatrix} \begin{bmatrix} a \\ b \\ c \\ d \end{bmatrix}$$



# Calcul des Splines de Hermite

4 contraintes : positions et tangentes aux extrémités de  $[0,1]$

$$\begin{aligned}p(0) &= p_0 \\p(1) &= p_1 \\ \left. \frac{dp}{dt} \right|_{t=0} &= \nabla p_0 \\ \left. \frac{dp}{dt} \right|_{t=1} &= \nabla p_1\end{aligned}$$

Hyp : forme cubique :

$$p(t) = at^3 + bt^2 + ct + d$$

4 inconnues :  $a, b, c, d$

# Calcul des Splines de Hermite

- comme  $p(t) = at^3 + bt^2 + ct + d$   
 $p'(t) = \frac{dp(t)}{dt} = 3at + 2bt + c$
- Les 4 contraintes donnent 4 équations linéaires

$$p(0) = p_0 = d$$

$$p(1) = p_1 = a + b + c + d$$

$$\left. \frac{dp}{dt} \right|_{t=0} = p'(0) = \nabla p_0 = c$$

$$\left. \frac{dp}{dt} \right|_{t=1} = p'(1) = \nabla p_1 = 3a + 2b + c$$

- Résoudre en  $a, b, c, d$ :

$$a = 2p_0 - 2p_1 + \nabla p_0 + \nabla p_1 \quad b = -3p_0 + 3p_1 - 2\nabla p_0 - \nabla p_1 \quad c = p_0 - p_1 \quad d = p_0$$

# Splines de Hermite : forme matricielle

$$\begin{bmatrix} p_0 \\ p_1 \\ \frac{dp_0}{dt} \\ \frac{dp_1}{dt} \end{bmatrix} = \begin{bmatrix} 0 & 0 & 0 & 1 \\ 1 & 1 & 1 & 1 \\ 0 & 0 & 1 & 0 \\ 3 & 2 & 1 & 0 \end{bmatrix} \begin{bmatrix} a \\ b \\ c \\ d \end{bmatrix}$$

Vecteur de Contrôle      Base      coefficients spline

↓  
Résoudre les coefficients spline

$$\begin{bmatrix} a \\ b \\ c \\ d \end{bmatrix} = \begin{bmatrix} 2 & -2 & 1 & 1 \\ -3 & 3 & -2 & -1 \\ 0 & 0 & 1 & 0 \\ 1 & 0 & 0 & 0 \end{bmatrix} \begin{bmatrix} p_0 \\ p_1 \\ \frac{dp_0}{dt} \\ \frac{dp_1}{dt} \end{bmatrix}$$

Coefficients Spline      Base      Vecteur de Contrôle

# Equation des Splines de Hermite Cubiques

$$[p] = \begin{bmatrix} t^3 & t^2 & t & 1 \end{bmatrix} \begin{bmatrix} 2 & -2 & 1 & 1 \\ -3 & 3 & -2 & -1 \\ 0 & 0 & 1 & 0 \\ 1 & 0 & 0 & 0 \end{bmatrix} \begin{bmatrix} p_0 \\ p_1 \\ \frac{dp_0}{dt} \\ \frac{dp_1}{dt} \end{bmatrix}$$

Matrice de Base

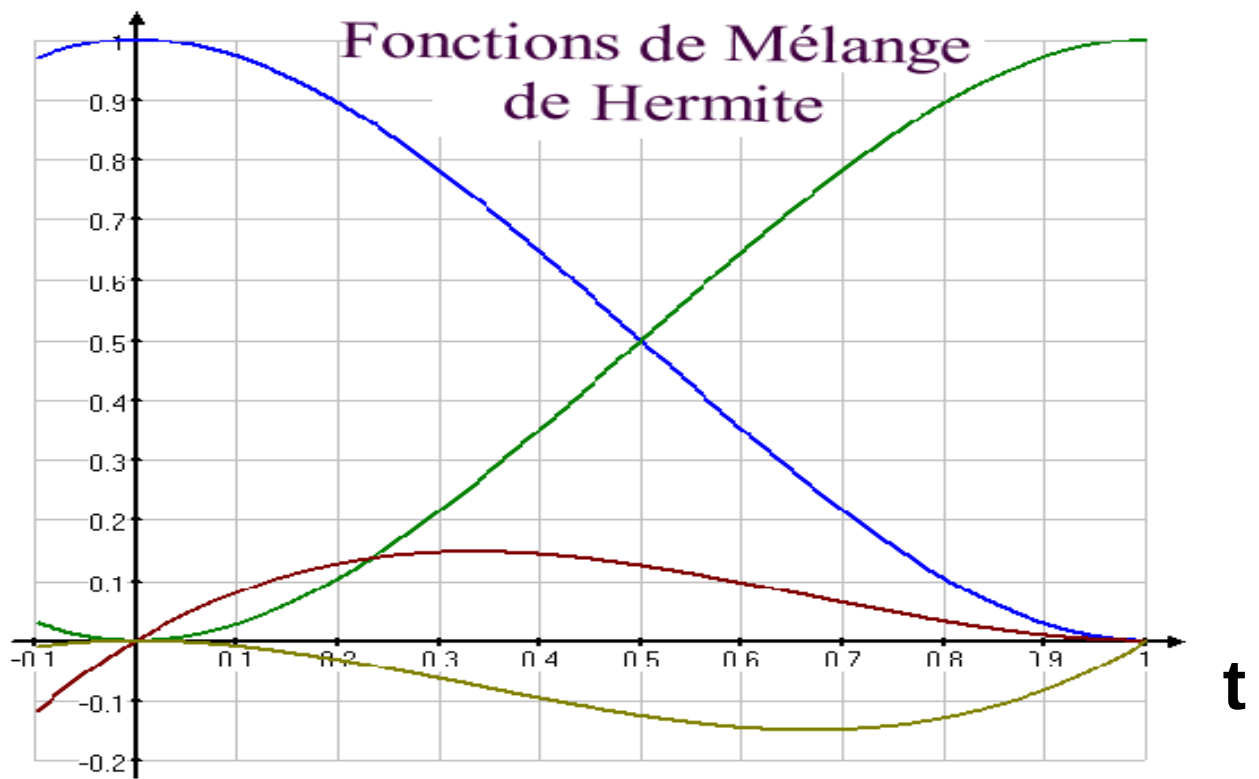
$$p(t) = \begin{pmatrix} 2t^3 - 3t^2 + 1 \\ -2t^3 + 3t^2 \\ t^3 - 2t^2 + t \\ t^3 - t^2 \end{pmatrix}^T \begin{pmatrix} P_1 \\ p_2 \\ \nabla p_1 \\ \nabla p_2 \end{pmatrix}$$

Points/vecteurs de Contrôle

# 4 fonctions de base des cubiques de Hermite

$$p(t) = \begin{pmatrix} 2t^3 - 3t^2 + 1 \\ -2t^3 + 3t^2 \\ t^3 - 2t^2 + t \\ t^3 - t^2 \end{pmatrix}^T \begin{pmatrix} P_0 \\ P_1 \\ \nabla P_0 \\ \nabla P_1 \end{pmatrix}$$

↑  
4 fonctions de base



chaque Spline de Hermite est une combinaison linéaire (un mélange) de ces 4 fonctions

# Retour aux Courbes de Bézier

- Une sorte de courbe de Hermite
- 4 points de contrôle :  $P_0$  et  $P_3$  aux extrémités,  $P_1$  et  $P_2$  contrôlent les tangentes aux extrémités
  - $p(0) = P_0$ ,
  - $p(1) = P_3$ ,
  - $p'(0) = 3(P_1 - P_0)$ ,
  - $p'(1) = 3(P_3 - P_2)$
- Matrice de Bézier ~ Matrice de Hermite
- Propriété de l'enveloppe Convexe

# de Hermite à Bézier

$$\begin{bmatrix} p_0 & p_1 & \frac{dp_0}{dt} & \frac{dp_1}{dt} \end{bmatrix} = \begin{bmatrix} 1 & 0 & 0 & 0 \\ 0 & 0 & 0 & 1 \\ -3 & 3 & 0 & 0 \\ 0 & 0 & -3 & 3 \end{bmatrix} \begin{bmatrix} P_0 \\ P_1 \\ P_2 \\ P_3 \end{bmatrix} \begin{matrix} p(0)=P_0 \\ p(1)=P_3 \\ p'(0)=3(P_1-P_0) \\ p'(1)=3(P_3-P_2) \end{matrix}$$

Vecteur de  
Contrôle de  
Hermite

Bézier  
vers  
Hermite

Vecteur de  
Contrôle de  
Bézier

# Bézier : forme matricielle

$$[P(t)] = \begin{bmatrix} t^3 & t^2 & t & 1 \end{bmatrix} \begin{bmatrix} 2 & -2 & 1 & 1 \\ -3 & 3 & -2 & -1 \\ 0 & 0 & 1 & 0 \\ 1 & 0 & 0 & 0 \end{bmatrix} \begin{bmatrix} 1 & 0 & 0 & 0 \\ 0 & 0 & 0 & 1 \\ -3 & 3 & 0 & 0 \\ 0 & 0 & -3 & 3 \end{bmatrix} \begin{bmatrix} P_0 \\ P_1 \\ P_2 \\ P_3 \end{bmatrix}$$

Base de  
Hermite

Bézier vers  
Hermite

Vecteur de  
Contrôle de  
Bézier

$$[P(t)] = \begin{bmatrix} t^3 & t^2 & t & 1 \end{bmatrix} \begin{bmatrix} -1 & 3 & -3 & 1 \\ 3 & -6 & 3 & 0 \\ -3 & 3 & 0 & 0 \\ 1 & 0 & 0 & 0 \end{bmatrix} \begin{bmatrix} P_0 \\ P_1 \\ P_2 \\ P_3 \end{bmatrix}$$



# Fonctions de Base de Bézier

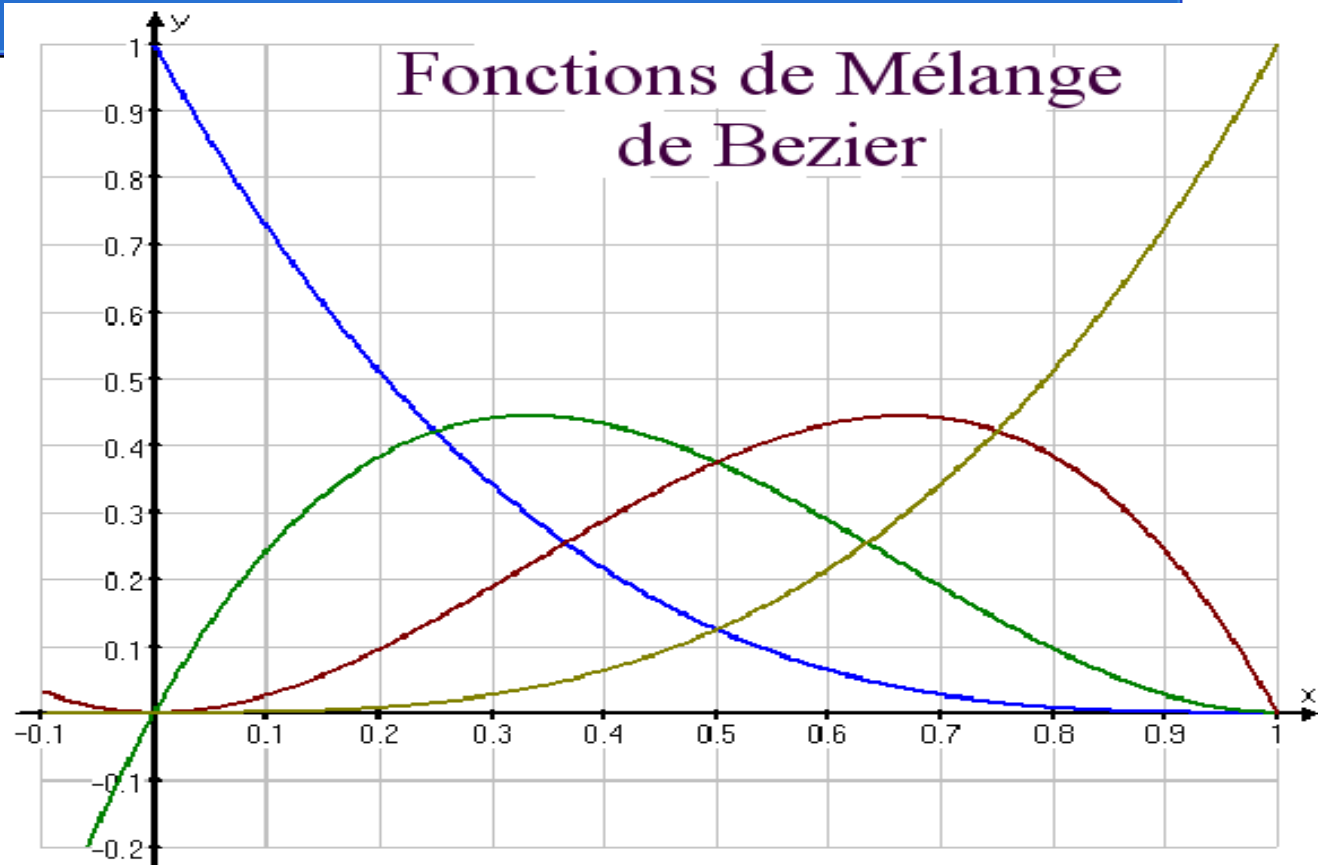
$$p(t) = \begin{bmatrix} (1-t)^3 \\ 3t(1-t)^2 \\ 3t^2(1-t) \\ t^3 \end{bmatrix}^T \begin{bmatrix} P_0 \\ P_1 \\ P_2 \\ P_3 \end{bmatrix}$$

Polynomes de Bernstein de degré 3

Positifs sur  $[0,1]$ , somme à 1

Propriété : courbe dans l'enveloppe convexe des points de contrôle

# Fonctions de mélange de Bézier



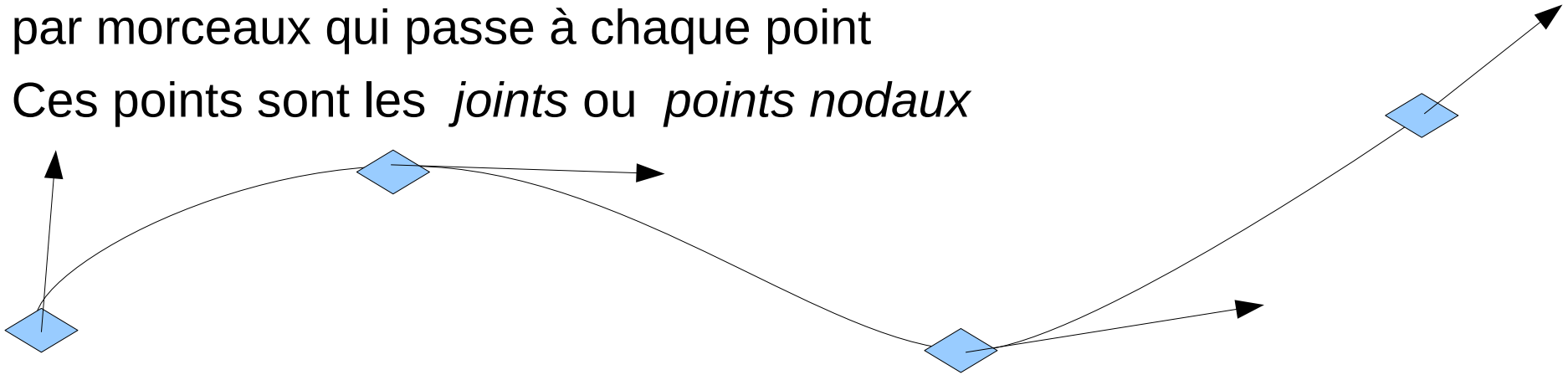
# Composition de Splines de Hermite

## Spline de Hermite composée

- Chaque morceau est une cubique de Hermite
- Spécifier la position et la tangente à chaque joint
- Les morceaux interpolent les positions et les tangentes
- Continuité C1

A partir d'une liste de positions et tangentes, construire une cubique par morceaux qui passe à chaque point

Ces points sont les *joints* ou *points nodaux*

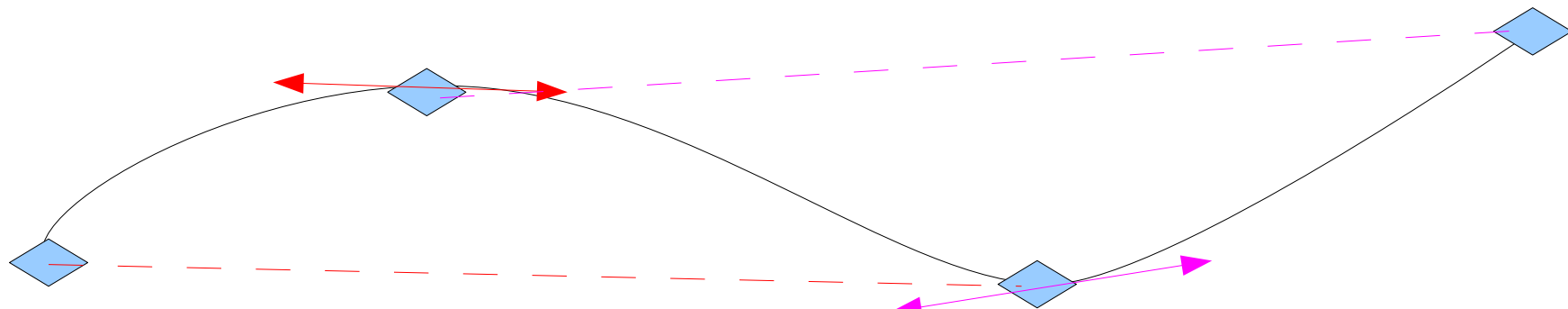


# Splines de Catmull-Rom

Avec Hermite ou Bézier, difficile de composer des courbes assurant la continuité  $C^1$  ou  $G^1$   
Catmull-Rom : splines cubiques d'interpolation  $C^1$  continues

Données :

- $(n+1)$  points de contrôle  $P_0, \dots, P_n$
- Tangentes à chaque  $P_i$  :  $s(P_{i+1} - P_{i-1})$   $i=2..n-1$
- « fantômes » aux extrémités
- Splines de Hermite “en série”. Chaque morceau est déterminé par 4 points



# Matrice de Catmull-Rom

$$\begin{bmatrix} a \\ b \\ c \\ d \end{bmatrix} = \begin{bmatrix} -s & 2-s & s-2 & s \\ 2s & s-3 & 3-2s & -s \\ -s & 0 & s & 0 \\ 0 & 1 & 0 & 0 \end{bmatrix} \begin{bmatrix} P_0 \\ P_1 \\ P_2 \\ P_3 \end{bmatrix}$$

Coefficients  
Spline

Matrice de  
Catmull-Rom

Points de  
Contrôle

Calcul comme pour Hermite et Bezier

S : paramètre de tension (souvent  $s=1/2$ )

# Splines cubiques, interpolation, local

	Localité	Interpolation	C2	
Splines de Bezier	Oui et non	Oui et non	Oui et non	
Catmull Rom	oui	oui	non	
Splines Naturelles	non	oui	oui	
B-splines	oui	non	oui	

On ne peut pas tout avoir avec du cubique !!!

# B-Splines

Approximation (pas d'interpolation)

la courbe passe « près » des points de contrôle

Propriété d'enveloppe Convexe

Continuité  $C^2$ , contrôle local

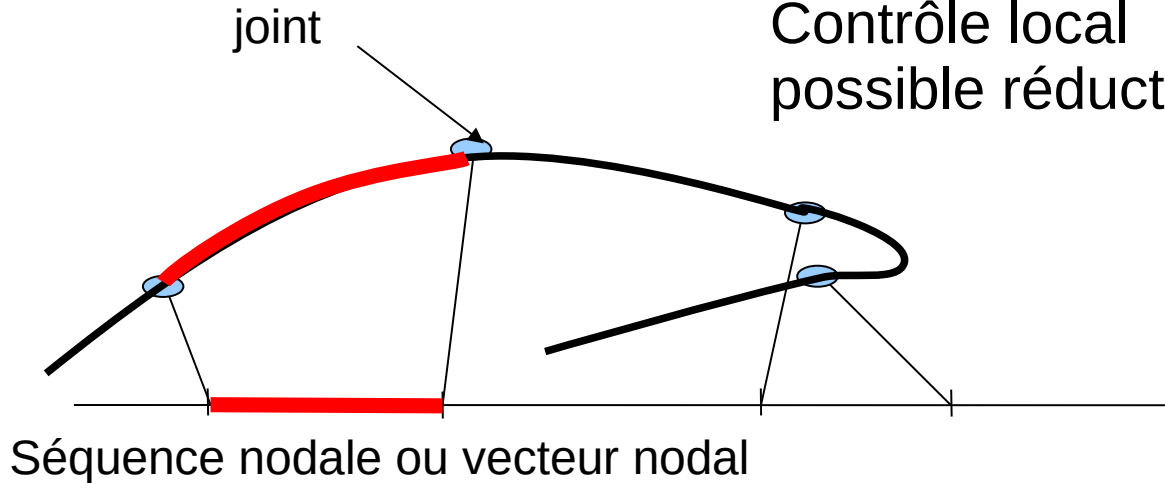
# Base des B-Splines cubiques uniformes

$$P_i(t) = \begin{bmatrix} t^3 & t^2 & t & 1 \end{bmatrix} \frac{1}{6} \begin{bmatrix} -1 & 3 & -3 & 1 \\ 3 & -6 & 3 & 0 \\ -3 & 0 & 3 & 0 \\ 1 & 4 & 1 & 0 \end{bmatrix} \begin{bmatrix} P_{i-3} \\ P_{i-2} \\ P_{i-1} \\ P_i \end{bmatrix}$$



# B-Splines Non Uniformes

Séquence non uniforme  
Différentes fonctions de base pour  
chaque intervalle nodal (morceau de courbe)  
Contrôle local  
possible réduction de la continuité



# Courbes B-Spline : exemples

Faire démo  
BsplineNonUniforme

4

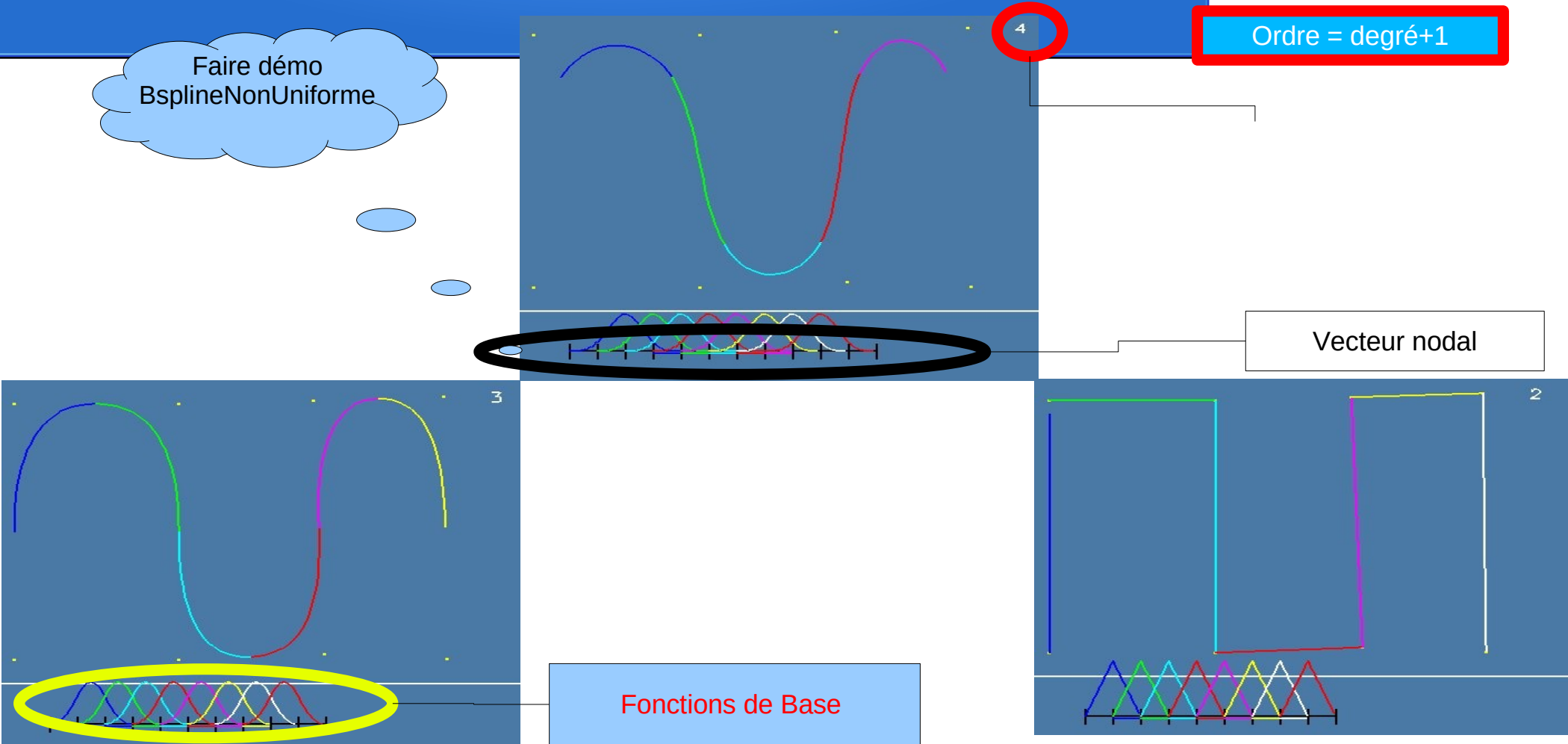
Ordre = degré+1

Vecteur nodal

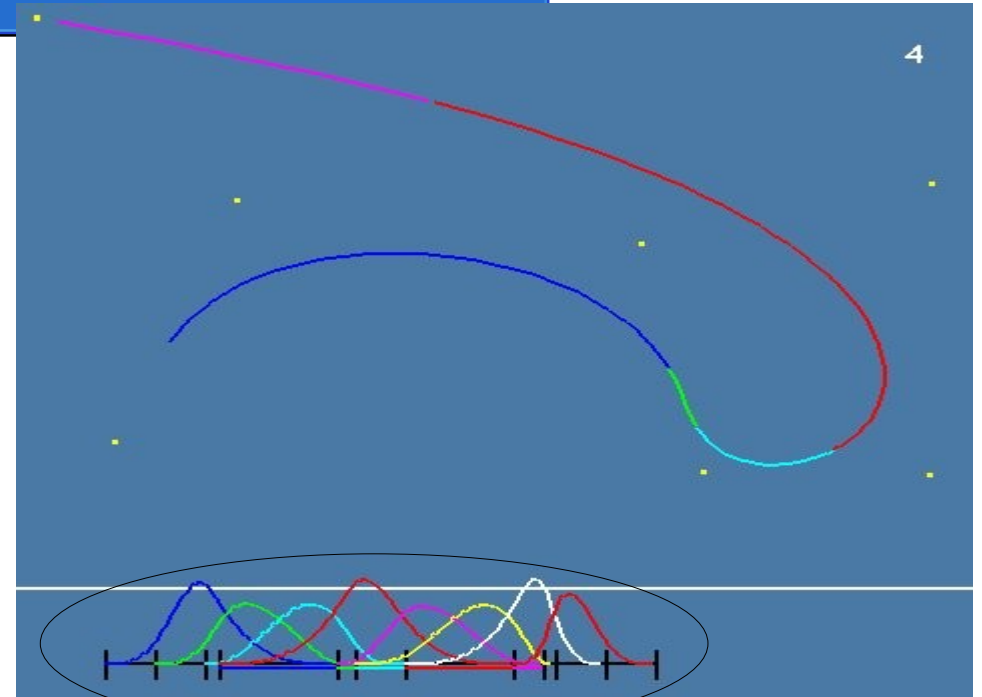
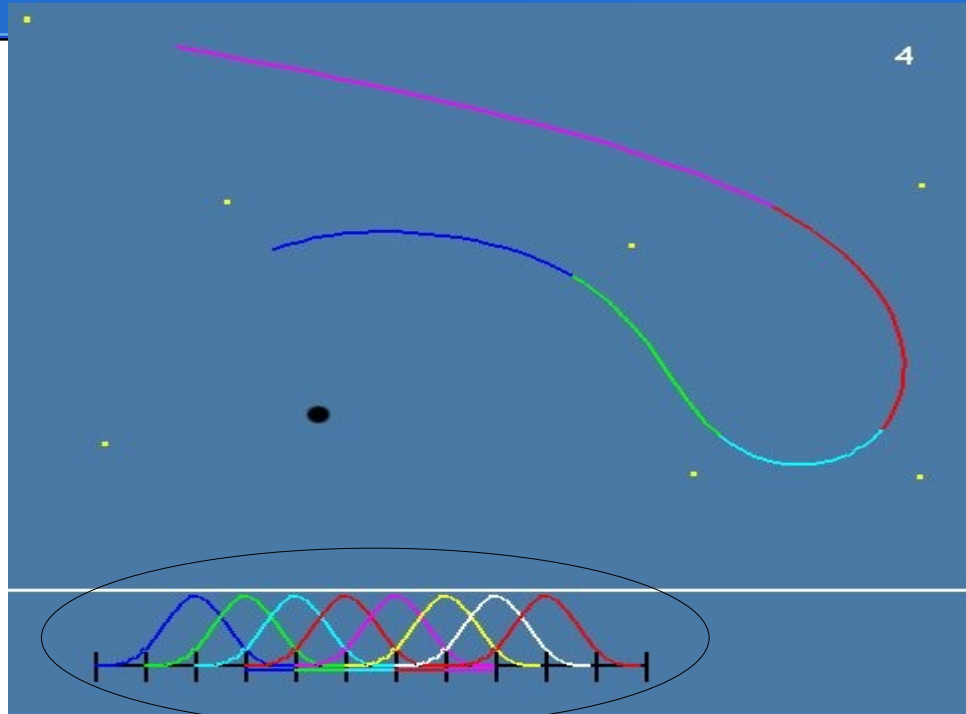
3

Fonctions de Base

2

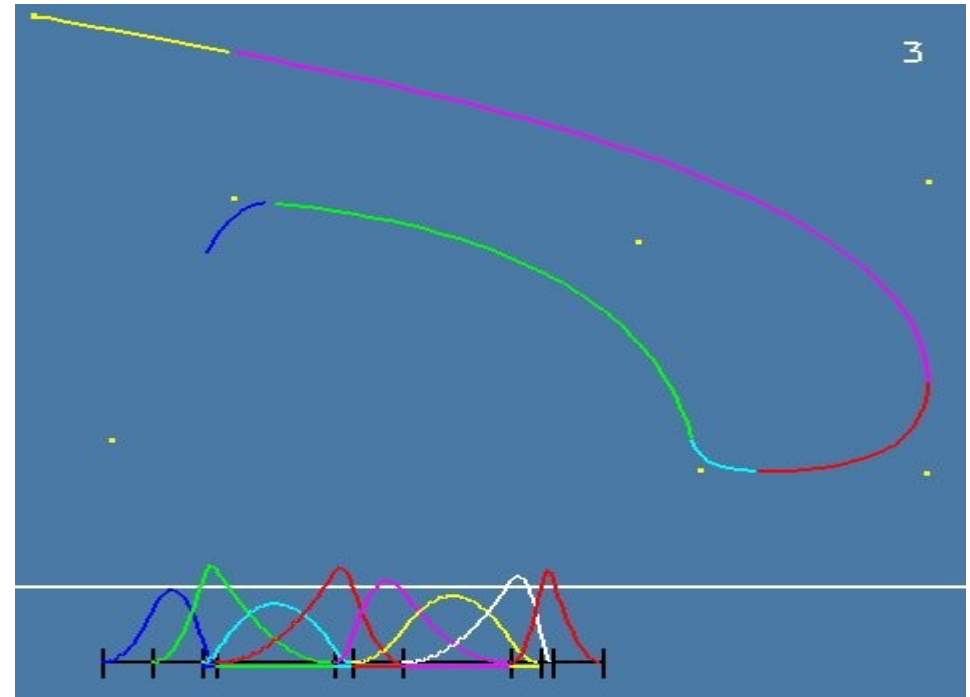
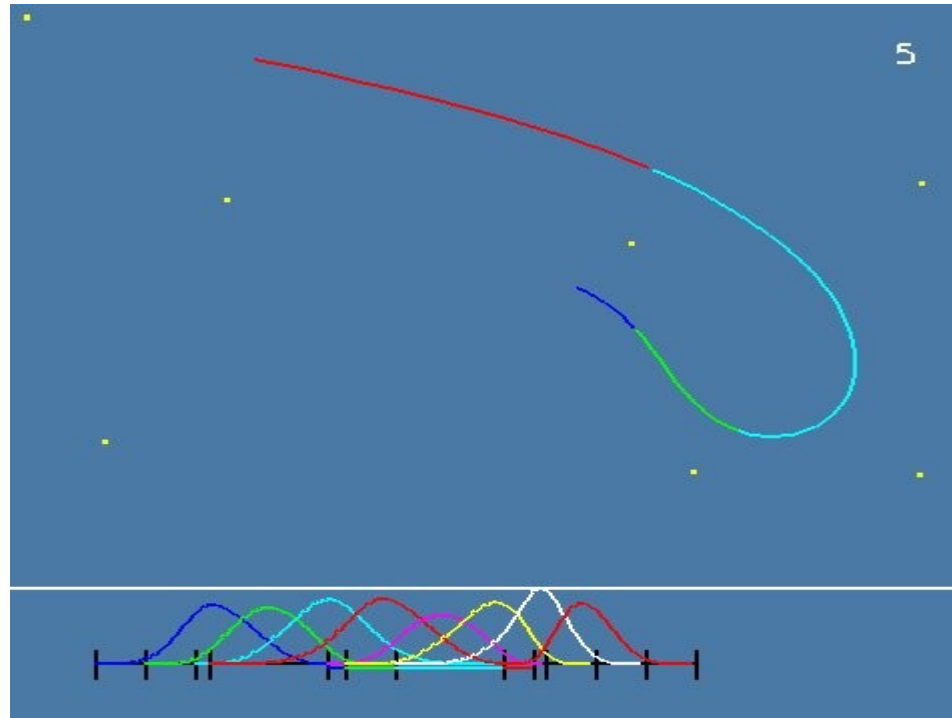


# Courbes B-Spline : exemples



Points de Contrôle et ordre inchangés. Le vecteur nodal change

# Courbes B-Spline : exemples



points de Contrôle et vecteur nodal inchangés. L'Ordre change

# Courbes B-spline

Courbe Globale :  $t \in [t_0, t_{m+k}]$

$$C(t) = \sum_{i=0}^m P_i B_{i,k}(t)$$

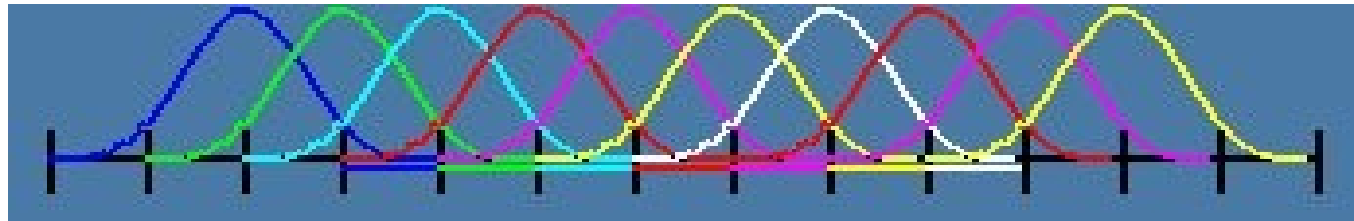
Union de  $m-k+2$  courbes

$$C(t) = \coprod_{j=k-1}^{j=m} C_j(t)$$

chaque courbe  $C_j$  est d'ordre  $k$

$$C(t) = \coprod_{j=d}^{j=m} \left( \sum_{i=-(d)}^{i=0} P_{i+j} N_{i+j,d}(t) \right)$$

Exemple : ordre  $k=4$ , 10 points de contrôle (de 0 à  $m=9$ ),  $m+k=13$  noeuds,  $m-k+2=7$  morceaux de courbe



# Courbes B-splines

$n = \text{nb de points de controle}$

$$\text{Equation de la Courbe} : C(t) = \sum_{i=0}^{n-1} N_{i,d}(t) P_i \quad \begin{array}{l} k = d + 1, \text{ordre} \\ d = \text{degré} \end{array}$$

*Vecteur nodal* :  $T = \{t_i; i \in \{0, \dots, n-1+k\}\}$  et  $t_0 \leq t_i \leq t_{n-1+k}$

*Calcul par Récurrence*

$$N_{i,0}(t) = \begin{cases} 1 & \text{si } t \in [t_i, t_{i+1}[ \\ 0 & \text{sinon} \end{cases}$$

$$N_{i,d}(t) = \frac{t - t_i}{t_{i+d} - t_i} N_{i,d-1}(t) + \frac{t_{i+d+1} - t}{t_{i+d+1} - t_{i+1}} N_{i+1,d-1}(t) \quad \text{pour } t \in [2, k]$$

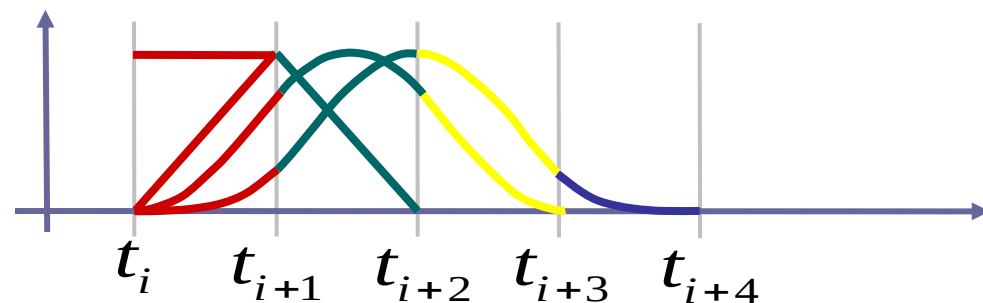
(convention  $\frac{0}{0} = 0$ )

# Courbes B-splines

$$N_{i,0}(t) = \begin{cases} 1 & \text{si } t \in [t_i, t_{i+1}[ \\ 0 & \text{sinon} \end{cases}$$

$$N_{i,1} = \frac{t - t_i}{t_{i+1} - t_i} N_{i,0} + \frac{t_{i+2} - t}{t_{i+2} - t_{i+1}} N_{i+1,0}$$

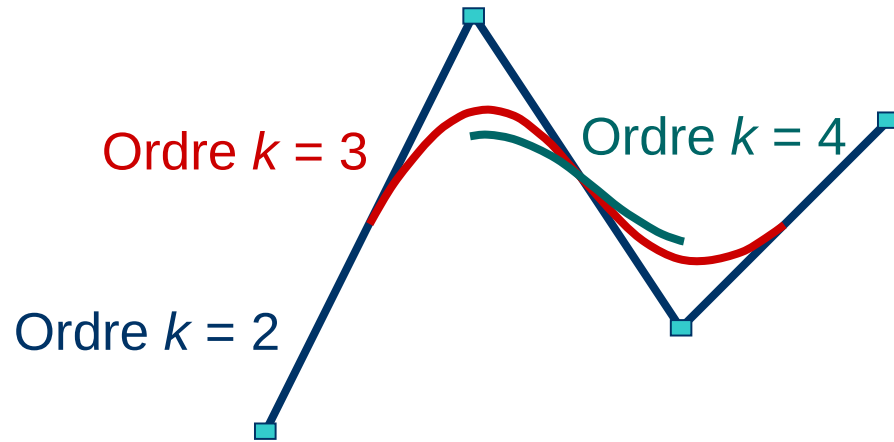
$$N_{i,2} = \frac{t - t_i}{t_{i+2} - t_i} \frac{t - t_i}{t_{i+1} - t_i} N_{i,0} + \left\{ \frac{t - t_i}{t_{i+2} - t_i} \frac{t_{i+2} - t}{t_{i+2} - t_{i+1}} + \frac{t_{i+3} - t}{t_{i+3} - t_{i+1}} \frac{t - t_{i+1}}{t_{i+2} - t_{i+1}} \right\} N_{i+1,0} + \frac{t_{i+3} - t}{t_{i+3} - t_{i+1}} \frac{t_{i+3} - t}{t_{i+3} - t_{i+2}} N_{i+2,0}$$



$$N_{i,3}(t)$$

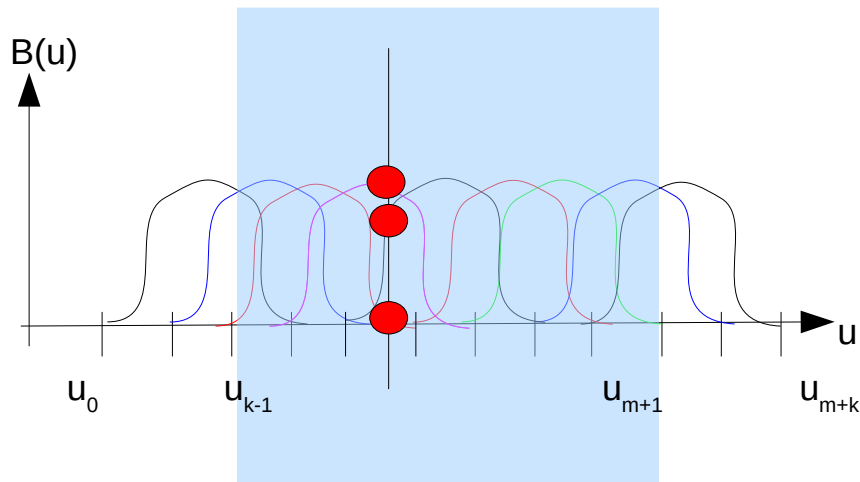
# Courbes B-splines

Démo blender





# B-Splines : nb morceaux



Exemple ici :  
 $k=3$   
 $n=7$   
 $n-k+1=7$

$$\begin{aligned} N &= [n - 1 + k - (k - 1)] - [0 + (k - 1)] \\ &= [n] - [k - 1] \\ &= n - k + 1 \end{aligned}$$

# Continuité

Paramétrique :  $C^k$

$P(u)$  continue jusqu'à la  $k^{\text{ème}}$  dérivée

Valeur, pente, 2<sup>e</sup> dérivée,...

Important pour les animations (paramètre = temps)

Géométrique :  $G^k$

$P$  continue indépendamment de  $u$  jusqu'à la  $k^{\text{e}}$  dérivée

Position, tangente, courbure,...

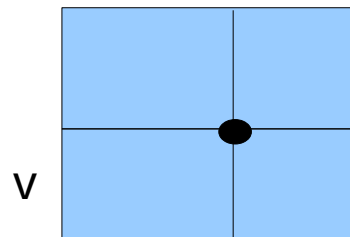
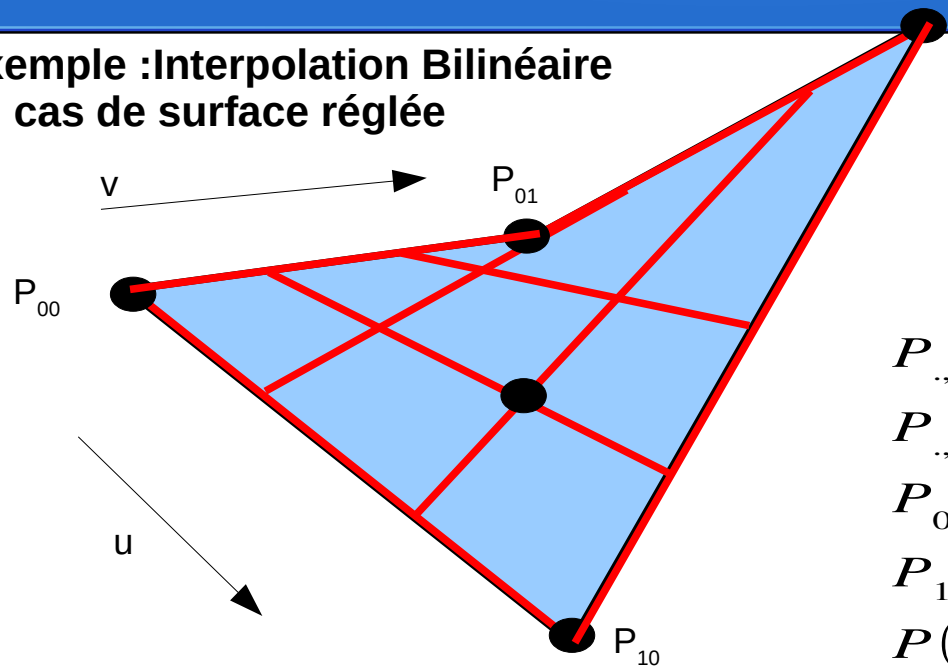
CAGD,...

Une courbe peut être  $G^k$  et pas  $C^k$  .

Et vice versa ?

# Produit Tensoriel

Exemple : Interpolation Biliéaire  
=> cas de surface réglée



$$P_{.,0}(u) = (1-u)P_{0,0} + uP_{1,0}$$

$$P_{.,1}(u) = (1-u)P_{1,0} + uP_{1,1}$$

$$P_{0,.}(v) = (1-v)P_{0,0} + vP_{0,1}$$

$$P_{1,.}(v) = (1-v)P_{1,0} + vP_{1,1}$$

$$P(u, v) = (1-v)P_{.,0}(u) + vP_{.,1}(u)$$

$$= (1-u)P_{0,.}(v) + vP_{1,.}(v)$$

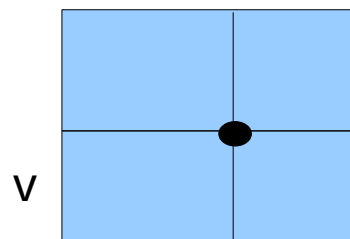
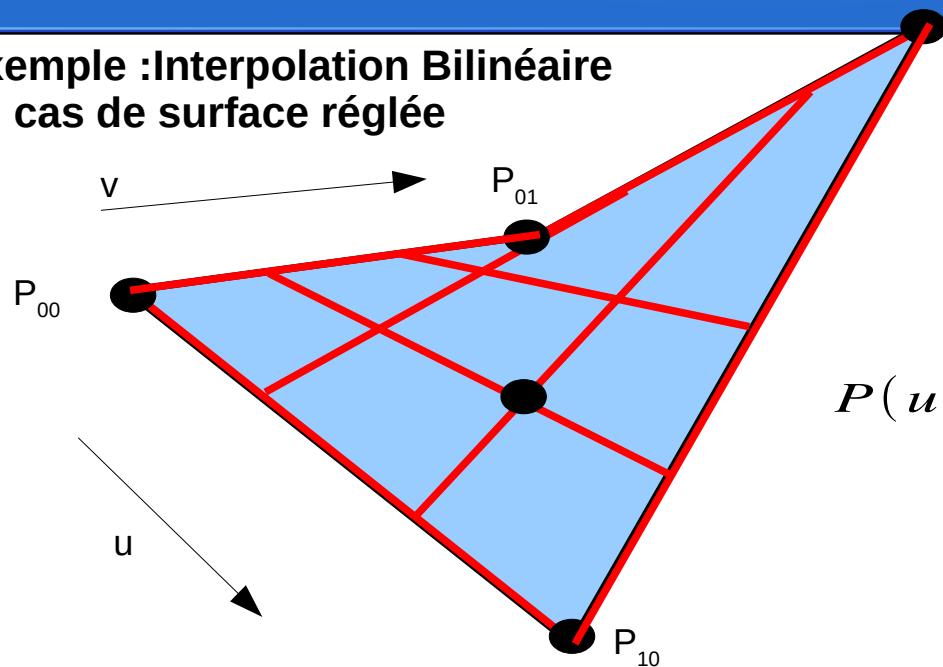
$$= (1-u)(1-v)P_{0,0} + (1-u)vP_{0,1}$$

$$+ u(1-v)P_{1,0} + uvP_{1,1}$$

$$P(u, v) = \begin{bmatrix} 1-u & u \end{bmatrix} \begin{bmatrix} P_{0,0} & P_{0,1} \\ P_{1,0} & P_{1,1} \end{bmatrix} \begin{bmatrix} 1-v \\ v \end{bmatrix}$$

# Produit Tensoriel

Exemple : Interpolation Bilinéaire  
=> cas de surface réglée



$$P(u, v) = \begin{bmatrix} 1-u & u \end{bmatrix} \begin{bmatrix} P_{0,0} & P_{0,1} \\ P_{1,0} & P_{1,1} \end{bmatrix} \begin{bmatrix} 1-v \\ v \end{bmatrix}$$

Ou encore

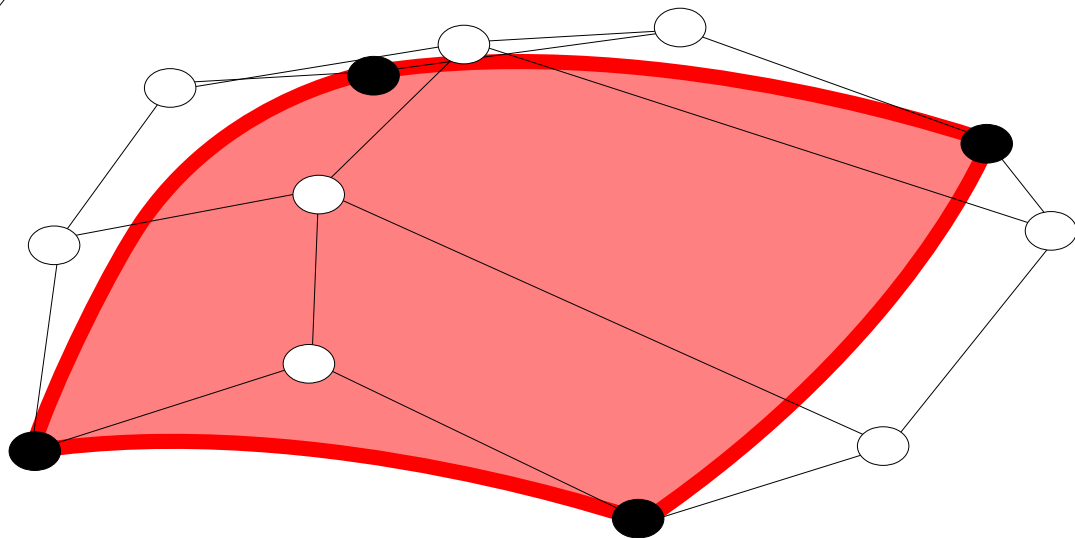
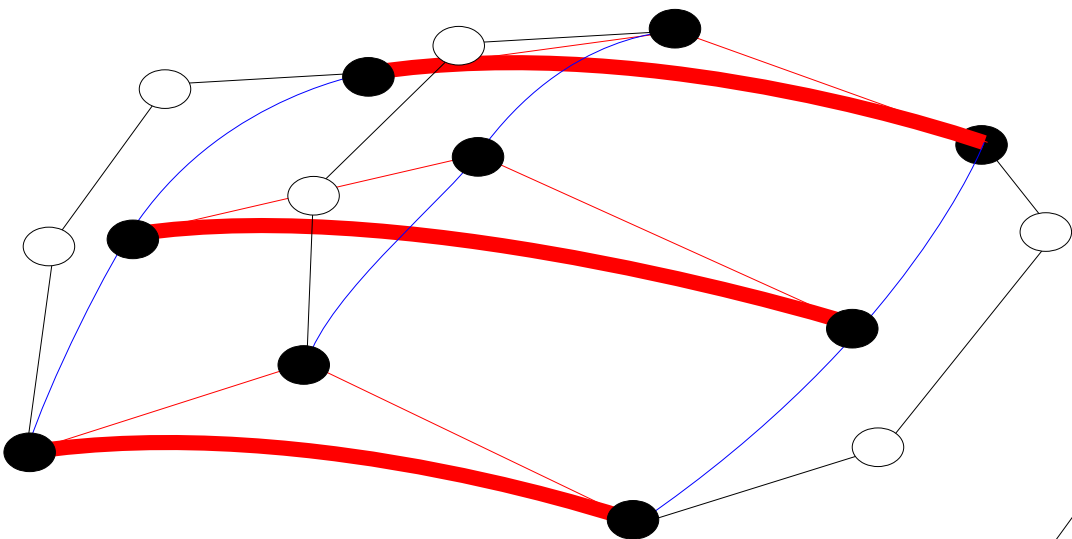
$$\begin{aligned} P(u, v) &= \begin{bmatrix} u & 1 \end{bmatrix} \begin{bmatrix} -1 & 1 \\ 1 & 0 \end{bmatrix} \begin{bmatrix} P_{0,0} & P_{0,1} \\ P_{1,0} & P_{1,1} \end{bmatrix} \begin{bmatrix} -1 & 1 \\ 1 & 0 \end{bmatrix} \begin{bmatrix} v \\ 1 \end{bmatrix} \\ &= \begin{bmatrix} u & 1 \end{bmatrix} M_B P M_B^T \begin{bmatrix} v \\ 1 \end{bmatrix} \end{aligned}$$

# Produit Tensoriel

$$P^m(u) = \sum_{i=0}^m P_i B_i^m(u)$$

$$P_i(v) = \sum_{j=0}^n P_{i,j} B_j^n(v)$$

$$P(u, v) = \sum_{i=0}^m \sum_{j=0}^n P_{i,j} B_i^m(u) B_j^n(v)$$



# Surfaces Bicubiques

Surfaces à l'aide de fonctions bicubiques

$x(u,v), y(u,v), z(u,v)$  polynômes bicubiques en  $u$  et  $v$

16 termes pour combiner les puissances de  $u$  et  $v$

Matriciellement

$$u = \begin{bmatrix} u^3 & u^2 & u & 1 \end{bmatrix} \quad v = \begin{bmatrix} v^3 & v^2 & v & 1 \end{bmatrix}$$

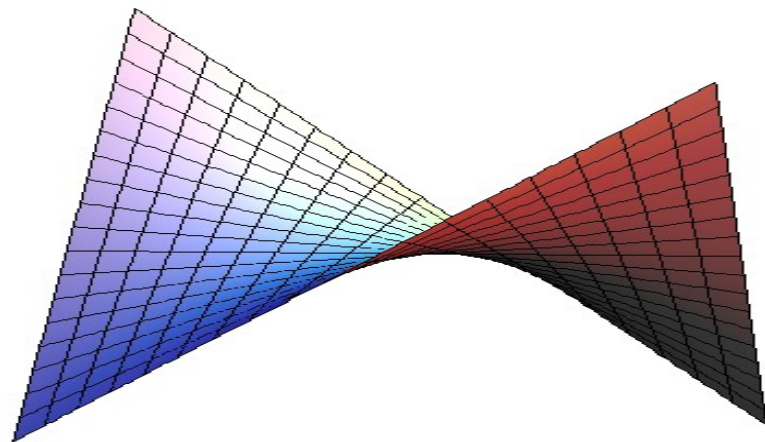
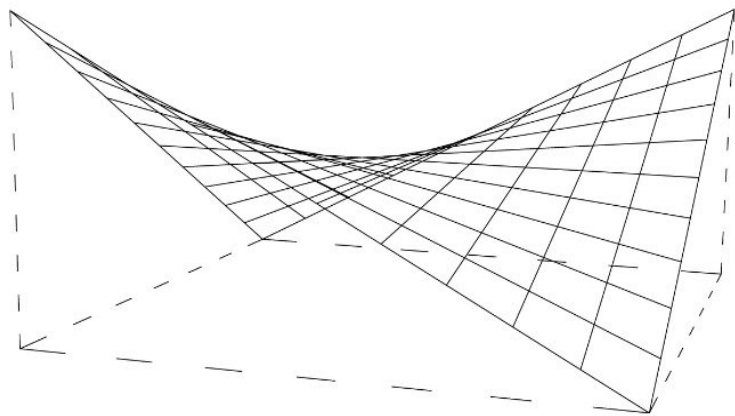
$$s(u,v) = u A v^T \quad \text{ou encore} \quad s(u,v) = u M P M^T v^T$$

*avec  $M$  matrice de base et  $P$  matrice de points de contrôle*

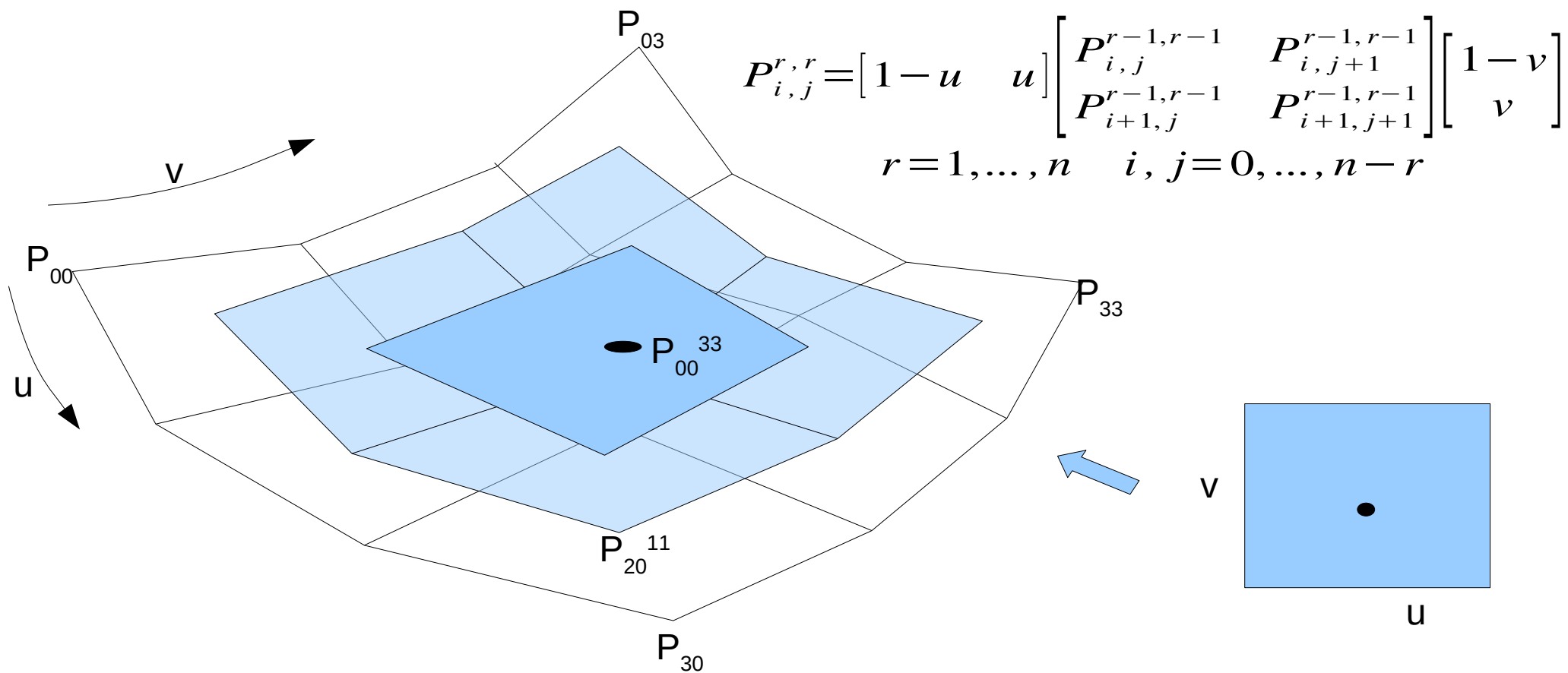
(produit tensoriel)

# Produit Tensoriel

$$P(u, v) = \begin{bmatrix} 1-u & u \end{bmatrix} \begin{bmatrix} P_{0,0} & P_{0,1} \\ P_{1,0} & P_{1,1} \end{bmatrix} \begin{bmatrix} 1-v \\ v \end{bmatrix} \iff P(u, v) = \sum_{i=0}^1 \sum_{j=0}^1 P_{i,j} B_i^1(u) B_j^1(v)$$



# De Casteljau



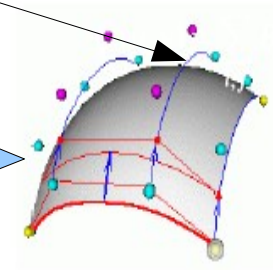
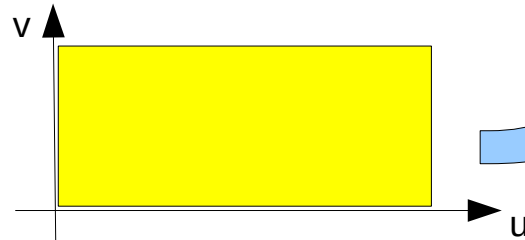


# Surfaces de Bézier

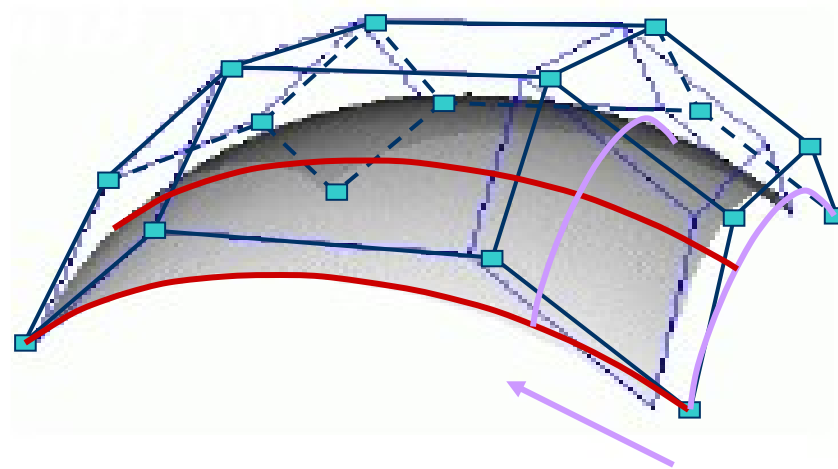
$$S(u, v) = \sum_{i=0}^m \sum_{j=0}^n P_{i,j} B_i^m(u) B_j^n(v) \quad (u, v) \in [0, 1]^2$$

$P_{i,j}$  Réseau des points de contrôle

$B_i^m(u)$  et  $B_j^n(v)$   
Fonctions de base de Bézier



# Surfaces de Bézier



# Surfaces B-splines (NUBS)

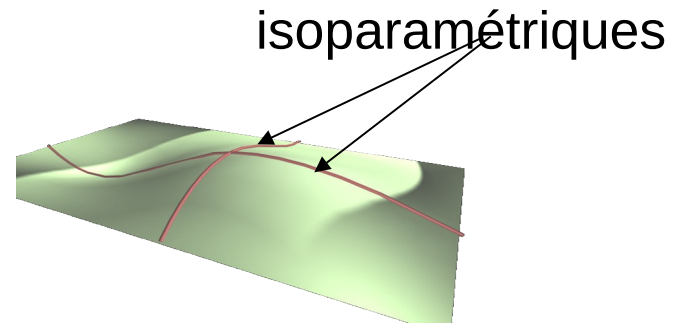
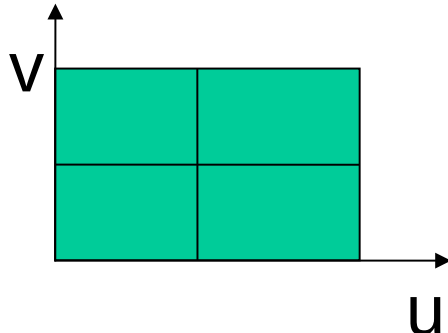
$$S(u, v) = \sum_{i=0}^m \sum_{j=0}^n P_{i,j} N_i^k(u) N_j^l(v) \quad (u, v) \in [u_0, u_{m+k}] \times [v_0, v_{n+l}]$$

$P_{i,j}$  avec  $i \in \{0, m\}$  et  $j \in \{0, n\}$

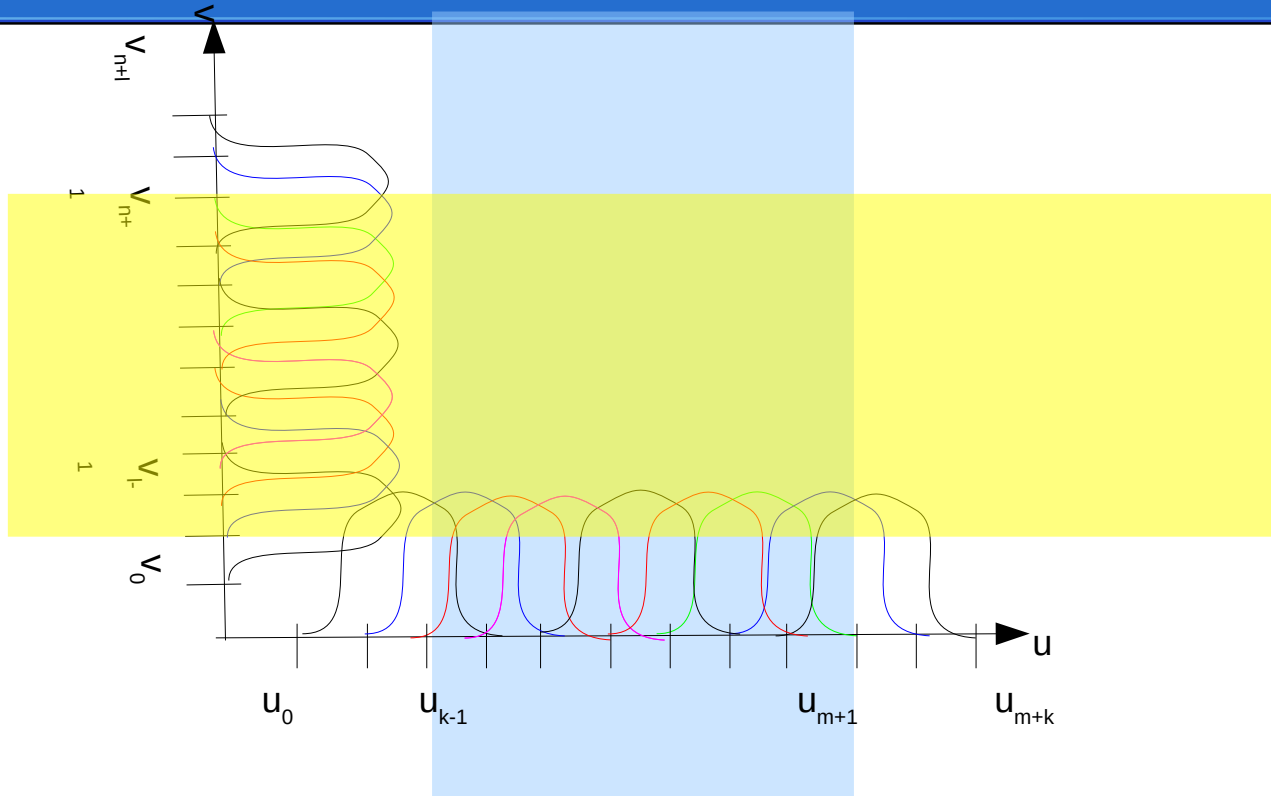
$$U = \{u_i / 0 \leq i \leq m+k \quad \wedge \quad u_0 \leq \dots \leq u_i \dots \leq u_{m+k}\}$$

$$V = \{v_j / 0 \leq j \leq n+l \quad \wedge \quad v_0 \leq \dots \leq v_j \dots \leq v_{n+l}\}$$

$N_i^k(u)$  et  $N_j^l(v)$  : fonctions de base



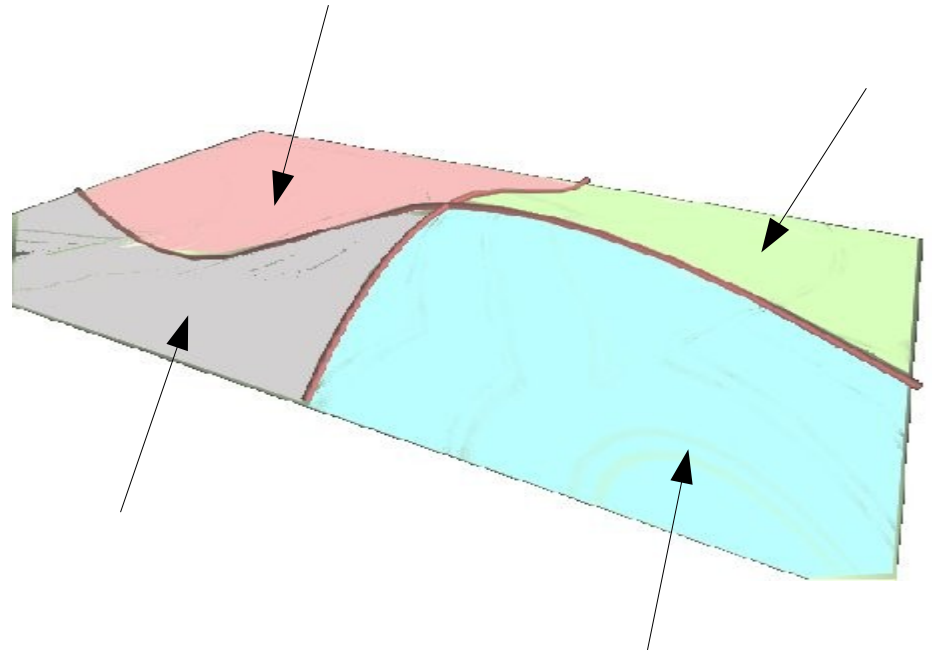
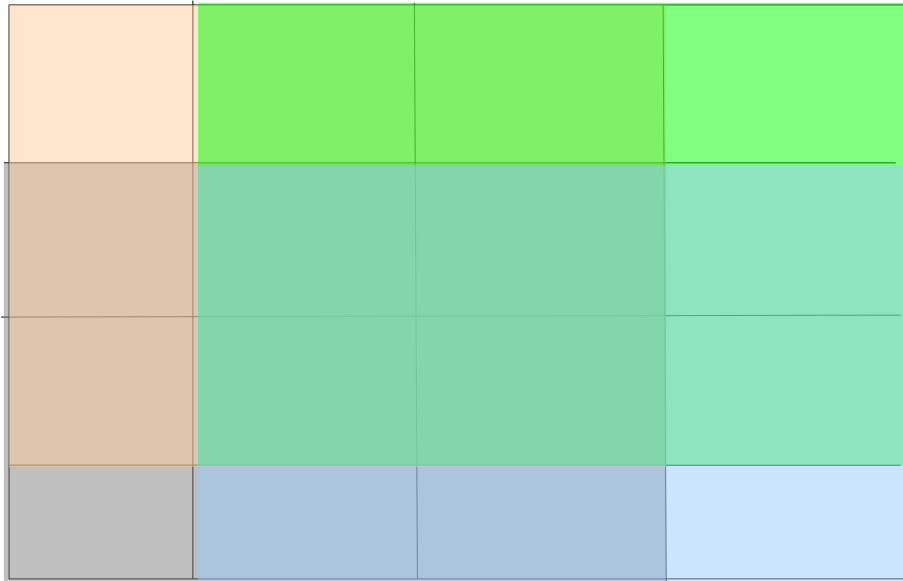
# Surfaces B-Splines (NUBS)



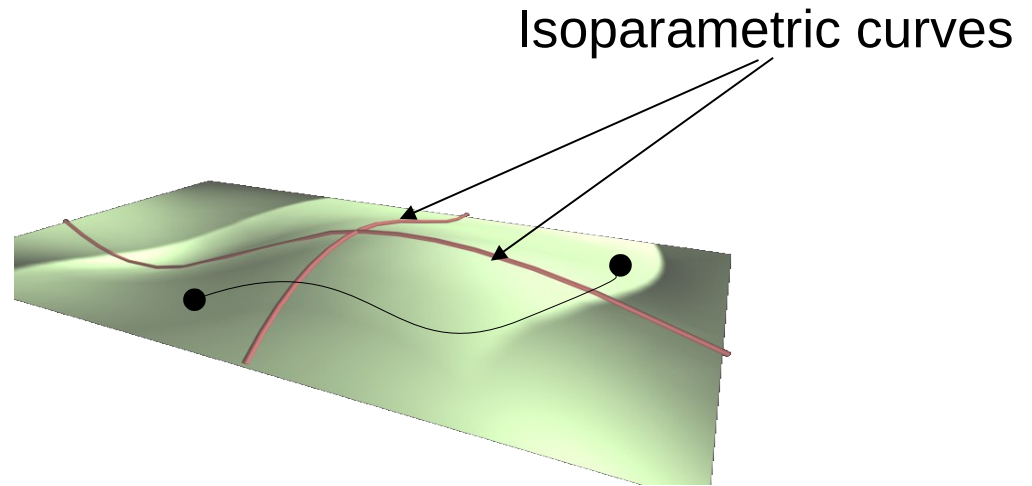
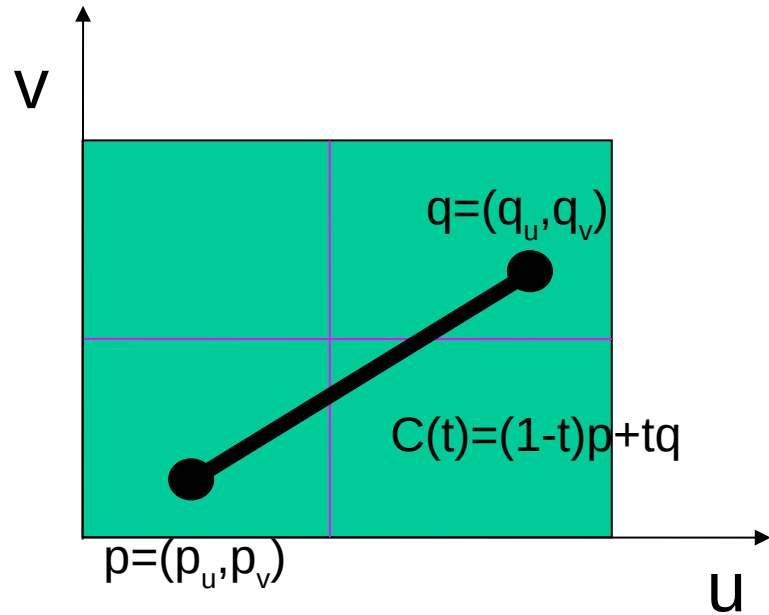
$$N = (m - k + 2) \times (n - l + 2)$$

# B-Splines : carreaux (patchwork)

ex : bicubiques



# Courbes sur surfaces



# Vecteur Normal & Torsion

## Vecteur Normal

$$n(u, v) = \frac{\frac{\partial}{\partial u} s(u, v) \wedge \frac{\partial}{\partial v} s(u, v)}{\left\| \frac{\partial}{\partial u} s(u, v) \wedge \frac{\partial}{\partial v} s(u, v) \right\|}$$

## Vecteur Torsion

$$t(u, v) = \frac{\frac{\partial^2}{\partial u \partial v} s(u, v)}{\left\| \frac{\partial^2}{\partial u \partial v} s(u, v) \right\|}$$

# NURBS

- Idée : utiliser les coordonnées homogènes
- Plus "vastes" que les B-Splines non uniformes : permettent aussi une représentation exacte des surfaces coniques (dont les cônes à base circulaire ou elliptique, la sphère et les ellipsoïdes avec un axe focal d'orientation quelconque, les paraboloides et hyperboloides, mais aussi les facettes planes...)
- Conservent leurs propriétés via certaines transformations non isométriques comme les projections, y compris la perspective



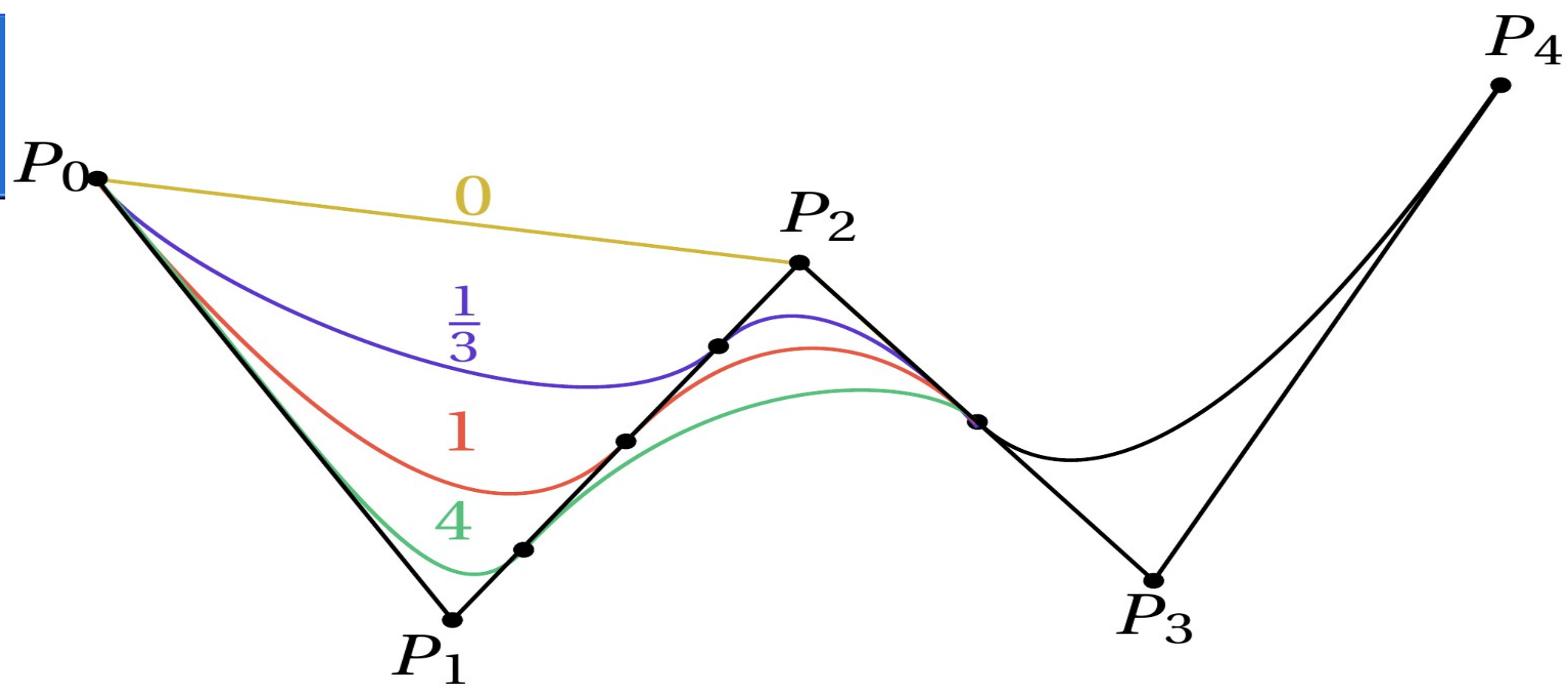
# NURBS

- Courbes :

$$C(t) = \frac{\sum_{i=0}^m w_i B_{i,k}(t) P_i}{\sum_{i=0}^m w_i B_{i,k}(t)}$$

- Surfaces :

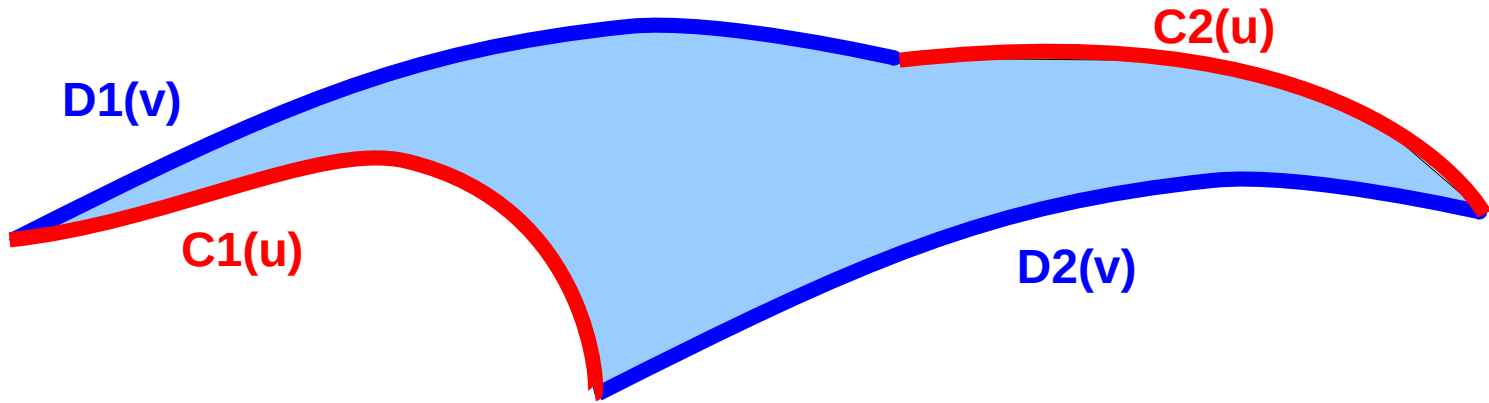
$$S(u, v) = \frac{\sum_{i=0}^m \sum_{j=0}^n w_{i,j} B_{i,k}(u) B_{j,l}(v) P_{i,j}}{\sum_{i=0}^m \sum_{j=0}^n w_{i,j} B_{i,k}(u) B_{j,l}(v)}$$



NURBS : effet de la variation de  $w_1$  (poids de  $P_1$ )

# Carreaux de Coons

Idée : remplir entre courbes

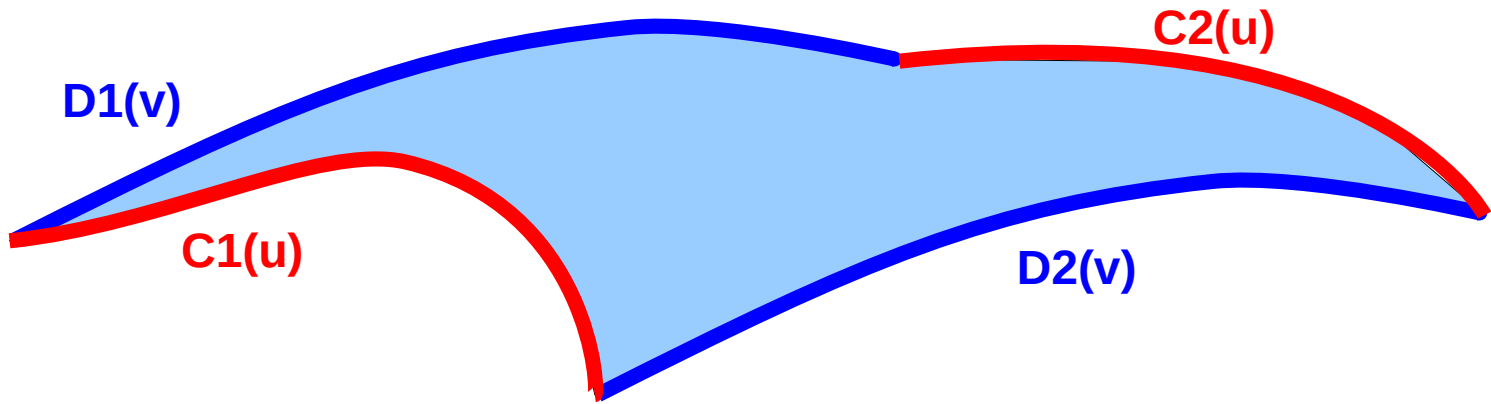


Degré qcq

$$u \in [u_{\min}, u_{\max}], v \in [v_{\min}, v_{\max}]$$

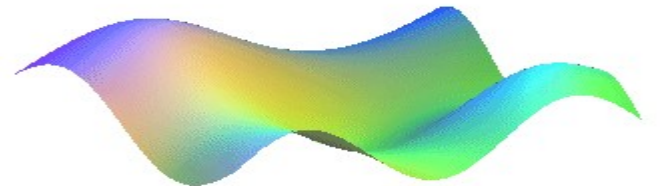
# Carreaux de Coons

Idée : remplir entre courbes



Degré qcq

$u \in [u_{\min}, u_{\max}]$ ,  $v \in [v_{\min}, v_{\max}]$



# Surfaces Réglées

Surface qui interpole  $c_1(u)$  et  $c_2(u)$

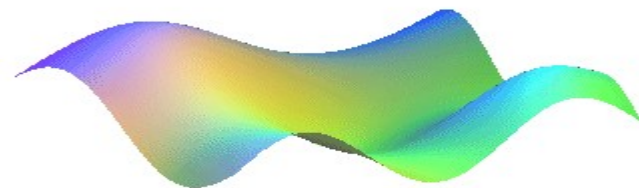
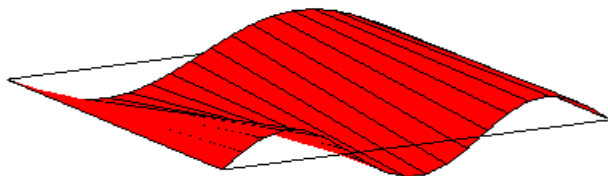
$u \in [u_{\min}, u_{\max}]$ , ex :  $[0, 1]$ .

trouver  $x(u, v)$  /  $x(u, 0) = c_1(u) \wedge x(u, 1) = c_2(u)$ .

Solution la + simple : interpolation linéaire

$$x(u, v) = (1 - v) c_1(u) + v c_2(u)$$

$$x(u, v) = (1 - v) x(u, 0) + v x(u, 1)$$



# Carreaux de Coons

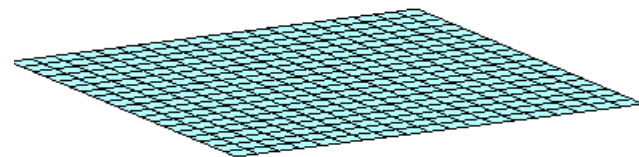
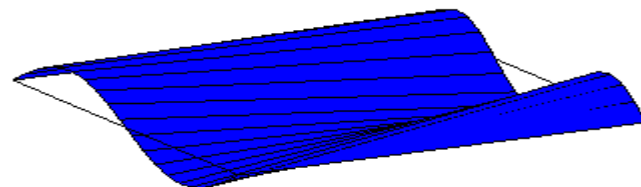
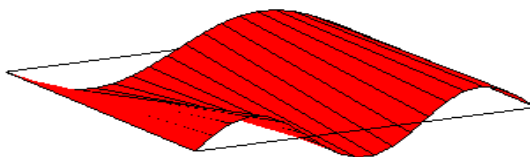
2 surfaces réglées

$$r_c(u, v) = (1 - v)c_1(u) + vc_2(u) = (1 - v)x(u, 0) + vx(u, 1)$$

$$r_d(u, v) = (1 - u)d_1(v) + ud_2(v) = (1 - u)x(0, v) + ux(1, v)$$

$r_c$  interpole  $c_1(u)$  et  $c_2(u)$  mais ne reproduit pas  $d_1(v)$  ni  $d_2(v)$

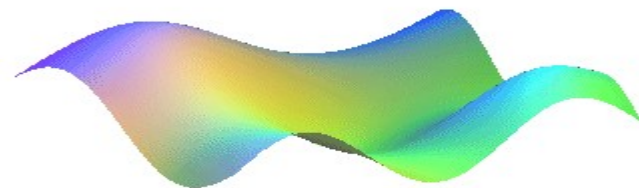
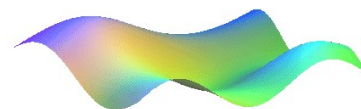
(idem pour  $r_d$ )



$$r_{cd}(u, v) = \begin{bmatrix} 1 - u & u \end{bmatrix} \begin{bmatrix} x(0, 0) & x(0, 1) \\ x(1, 0) & x(1, 1) \end{bmatrix} \begin{bmatrix} 1 - v \\ v \end{bmatrix}$$

=> retirer interpolation bilinéaire

Carreau de Coons :  $x = r_c + r_d - r_{cd}$



# Carreaux de Coons

## Coons Bilineaire

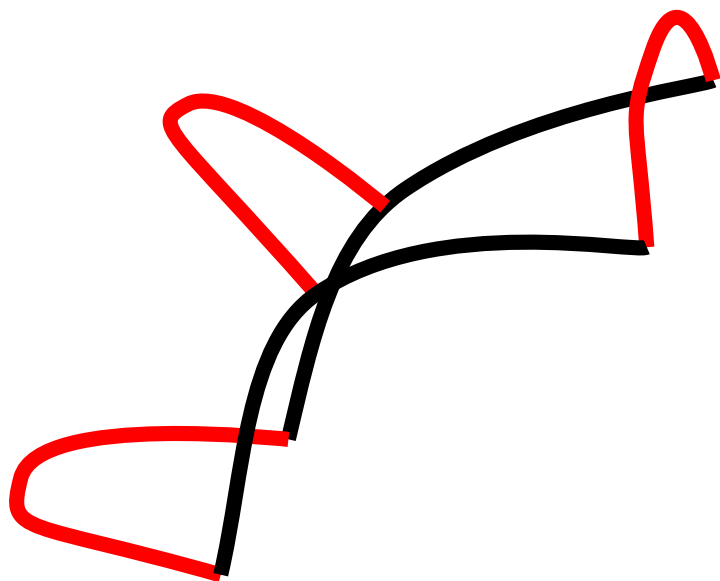
$$\begin{aligned} x(u, v) = & \begin{bmatrix} 1-u & u \end{bmatrix} \begin{bmatrix} x(0, v) \\ x(1, v) \end{bmatrix} \\ & + \begin{bmatrix} x(u, 0) & x(u, 1) \end{bmatrix} \begin{bmatrix} 1-v \\ v \end{bmatrix} \\ & - \begin{bmatrix} 1-u \\ u \end{bmatrix} \begin{bmatrix} x(0, 0) & x(0, 1) \\ x(1, 0) & x(1, 1) \end{bmatrix} \begin{bmatrix} 1-v \\ v \end{bmatrix} \end{aligned}$$

## Coons Général

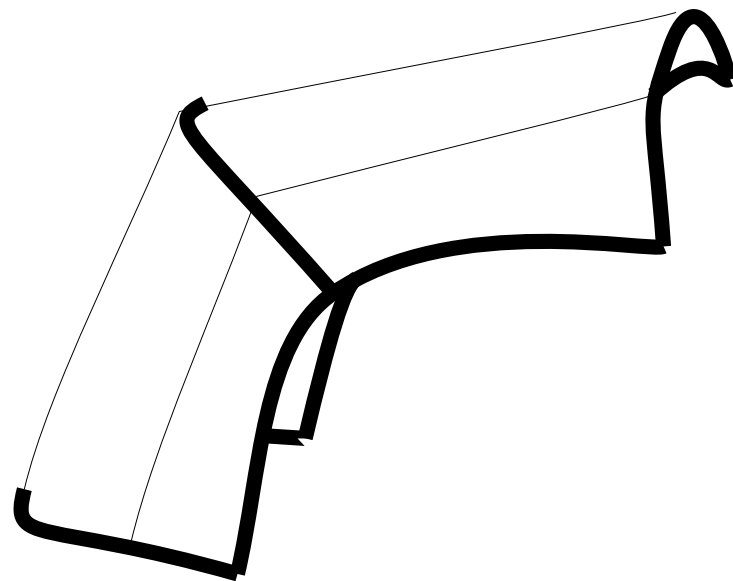
$$\begin{aligned} x(u, v) = & \begin{bmatrix} f_1(u) & f_2(u) \end{bmatrix} \begin{bmatrix} x(0, v) \\ x(1, v) \end{bmatrix} \\ & + \begin{bmatrix} x(u, 0) & x(u, 1) \end{bmatrix} \begin{bmatrix} g_1(v) \\ g_2(v) \end{bmatrix} \\ & - \begin{bmatrix} f_1(u) \\ f_2(u) \end{bmatrix} \begin{bmatrix} x(0, 0) & x(0, 1) \\ x(1, 0) & x(1, 1) \end{bmatrix} \begin{bmatrix} g_1(v) \\ g_2(v) \end{bmatrix} \end{aligned}$$

# Coons Patches

Inconvénient



$u \in [0,2]$ ,  $v \in [0,1]$



Bords  $x(u,0)$  et  $x(u,1)$  différentiables  
Dérivées croisées discontinues le long de  $x(1,v)$



# Carreaux de Coons Mélange Partiel Bicubique

Fonctions de Hermite :  $f_1=g_1=H_0^3$  et  $f_2=g_2=H_3^3$

$$H_0^3(t) = 2t^3 - 3t^2 + 1$$

$$H_1^3(t) = t^3 - 2t^2 + t$$

$$H_2^3(t) = t^3 - t^2$$

$$H_3^3(t) = -2t^3 + 3t^2$$

Derivée "transverse" (suivant  $v$ ) le long de  $u=0$  :

$$x_u(0, v) = \begin{bmatrix} x_u(0,0) & x_u(0,1) \end{bmatrix} \begin{bmatrix} H_0^3(v) \\ H_3^3(v) \end{bmatrix}$$

Tous les autres termes disparaissent car

$$\frac{dH_{3i}^3(0)}{du} = \frac{dH_{3i}^3(1)}{du} = 0 \quad i = 0,1$$

Derivée croisée le long d'un bord depend seulement de ce bord

Inconvénient : aplats aux coins

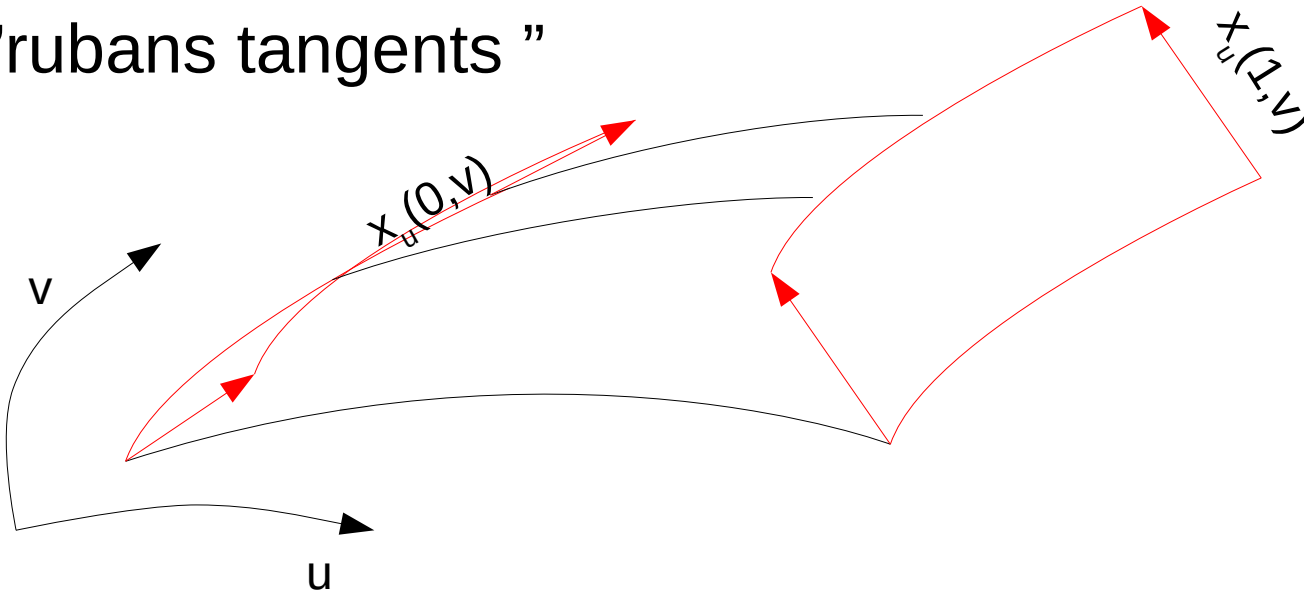
$$x_{uv}(i, j) = 0 \quad i, j \in \{0,1\}$$

# Carreaux de Coons Mélange Partiel Bicubique

Données :  $x(u,0), x(u,1), x(0,v), x(1,v)$   
 $x_v(u,0), x_v(u,1), x_u(0,v), x_u(1,v)$

(tangentes le long  
des courbes)

= "rubans tangents "



# Carreaux de Coons Bicubique

## Surfaces réglées généralisées

$$h_c(u, v) = H_0^3(u) x(0, v) + H_1^3(u) x_u(0, v) + H_2^3(u) x_u(1, v) + H_3^3(u) x(1, v)$$

$$h_d(u, v) = H_0^3(v) x(u, 0) + H_1^3(v) x_v(u, 0) + H_2^3(v) x_v(u, 1) + H_3^3(v) x(u, 1)$$

$$h_{cd}(u, v) = \begin{bmatrix} H_0^3(u) & H_1^3(u) & H_2^3(u) & H_3^3(u) \end{bmatrix} \begin{bmatrix} x(0,0) & x_v(0,0) & x_v(0,1) & x(0,1) \\ x_u(0,0) & x_{uv}(0,0) & x_{uv}(0,1) & x_u(0,1) \\ x_u(1,0) & x_{uv}(1,0) & x_{uv}(1,1) & x_u(1,1) \\ x(1,0) & x_v(1,0) & x_v(1,1) & x(1,1) \end{bmatrix} \begin{bmatrix} H_0^3(v) \\ H_1^3(v) \\ H_2^3(v) \\ H_3^3(v) \end{bmatrix}$$

Carreau de Coons :  $x = h_c + h_d - h_{cd}$

$$x_{uv}(i, j) = \frac{\partial^2}{\partial u \partial v} x(i, j) = \text{ddl (à choisir)}$$

Vecteurs twist à choisir aux quatre coins du patche